

บทที่ 3

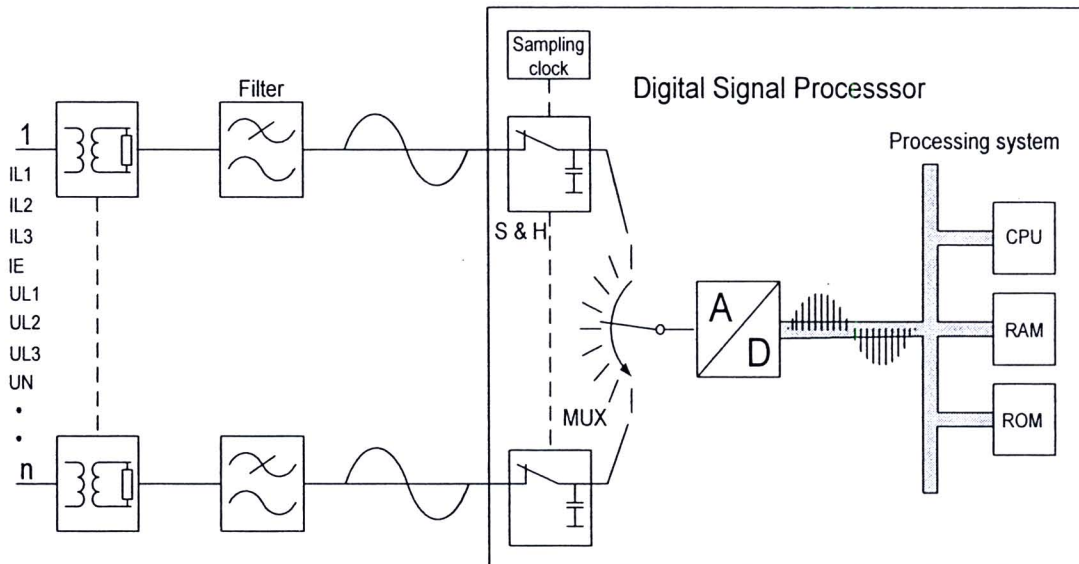
อัลกอริธึมของรีเลย์ผลต่างที่มีความทนทานต่อ[†]

การผิดเพี้ยนของสัญญาณกระแส

3.1 บทนำ

ในการทำงานของรีเลย์ผลต่าง รีเลย์จะต้องทำการตรวจวัดกระแสในทุกช่องทางที่กระแสสามารถไหลเข้าหรือไหลออกจากเขตป้องกัน และนำสัญญาณกระแสดังกล่าวไปใช้ในการประเมินว่าเกิดความผิดพร่องขึ้นในเขตป้องกันหรือไม่ กลไกในการตัดสินใจนั้นทำได้หลากหลายวิธี ในสมัยที่ยังไม่มีการประยุกต์ใช้เทคโนโลยีอิเล็กทรอนิกส์ การตรวจจับความผิดพร่องจะเป็นหน้าที่ของรีเลย์กลไฟฟ้า (Electro-mechanical Differential Relay) รีเลย์ชนิดนี้จะทำงานโดยนำสัญญาณกระแสผลต่างที่วัดได้มาแปลงให้เป็นแรงกล แรงดังกล่าวจะดึงหน้าสัมผัสให้เกิดการตัดหรือต่อวงจร ด้วยเหตุนี้ การทำงานของรีเลย์กลไฟฟ้าจึงต้องการกำลังงานเพื่อใช้ในการขับเคลื่อนชิ้นส่วนต่างๆ ให้เคลื่อนไหว หม้อแปลงกระแสที่นำมาใช้จึงต้องมีพิกัดการจ่ายกำลังงานสูง เพื่อให้เหมาะสมกับรีเลย์กลไฟฟ้า

หลังจากที่ได้มีการประยุกต์ใช้เทคโนโลยีอิเล็กทรอนิกส์ การประมวลผลต่าง ๆ นั้นทำได้โดยใช้วงจรไฟฟ้าแบบแอนalog เนื่องจากไม่มีชิ้นส่วนเคลื่อนไหว ทำให้รีเลย์ใช้กำลังงานน้อยลงมาก ต่อมาได้มีการนำเอาเทคโนโลยีในโครคอมพิวเตอร์เข้ามาประยุกต์ใช้ในการวิเคราะห์สัญญาณ รีเลย์ประเภทนี้เรียกว่า รีเลย์เชิงเลข (Numerical Relay) รีเลย์ป้องกันชนิดนี้มีขีดความสามารถในการคำนวณที่สูงขึ้น มีความแม่นยำและเที่ยงตรงสูงขึ้น สามารถทำงานแบบมีการติดต่อสื่อสารกับอุปกรณ์อื่นทั้งในสถานีและต่างสถานีไฟฟ้าได้ สามารถทำงานกับระบบที่มีเงื่อนไขการทำงานซับซ้อนได้ สามารถบันทึกข้อมูลและเหตุการณ์ต่าง ๆ ทำให้สะดวกในการวิเคราะห์เหตุการณ์ที่เกิดขึ้น รีเลย์เชิงเลขเกือบทั้งหมดจะมีองค์ประกอบที่คล้ายกัน ไม่ว่าจะเป็นรีเลย์กระแสเกิน รีเลย์ระยะทาง หรือ รีเลย์ผลต่าง โครงสร้างหลักของรีเลย์จะประกอบไปด้วย ชุดปรับแต่งสัญญาณ ชุดกรองความถี่ต่อผ่าน ชุด Sampling & Hold ชุดแปลงสัญญาณแอนalog เป็นดิจิตอล และหน่วยประมวลผลสัญญาณ ดังแสดงในภาพที่ 3-1 สิ่งที่ทำให้รีเลย์แต่ละชนิดมีการทำงานที่ต่างกันคือ โปรแกรมที่บรรจุไว้ในหน่วยประมวลผลซึ่งจะเป็นตัวกำหนดกระบวนการเบี่ยงเบี้ยนวิธีการในการคิดคำนวณ หรือการตัดสินใจ เราเรียกกระบวนการนี้ว่า อัลกอริธึม ผู้ออกแบบและผู้ผลิตรีเลย์ป้องกันพยายามที่จะพัฒนาอัลกอริธึม โดยมีเป้าหมายหลัก 2 ประการคือ

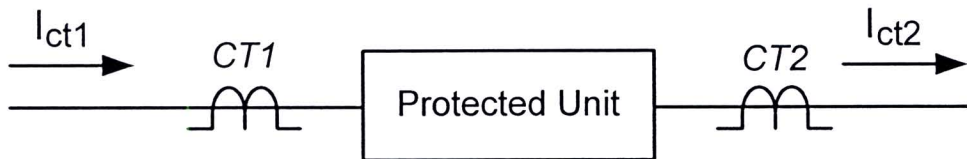


ภาพที่ 3-1 องค์ประกอบพื้นฐานของรีเลย์เชิงเลข

1. มีการตัดสินใจที่ถูกต้อง หากมีความผิดพร่องเกิดขึ้นในขอบเขตที่รีเลย์รับผิดชอบ รีเลย์จะต้องตรวจพบและดำเนินการตอบสนองต่อเหตุการณ์ตามที่ได้กำหนดไว้ เช่น สั่งเปิดหน้าสัมผัสของเซอร์กิตเบรกเกอร์ และในทางกลับกัน หากไม่มีเหตุผิดพร่องใดเกิดขึ้นภายในขอบเขตที่รับผิดชอบ รีเลย์จะต้องไม่สั่งปลดวงจร

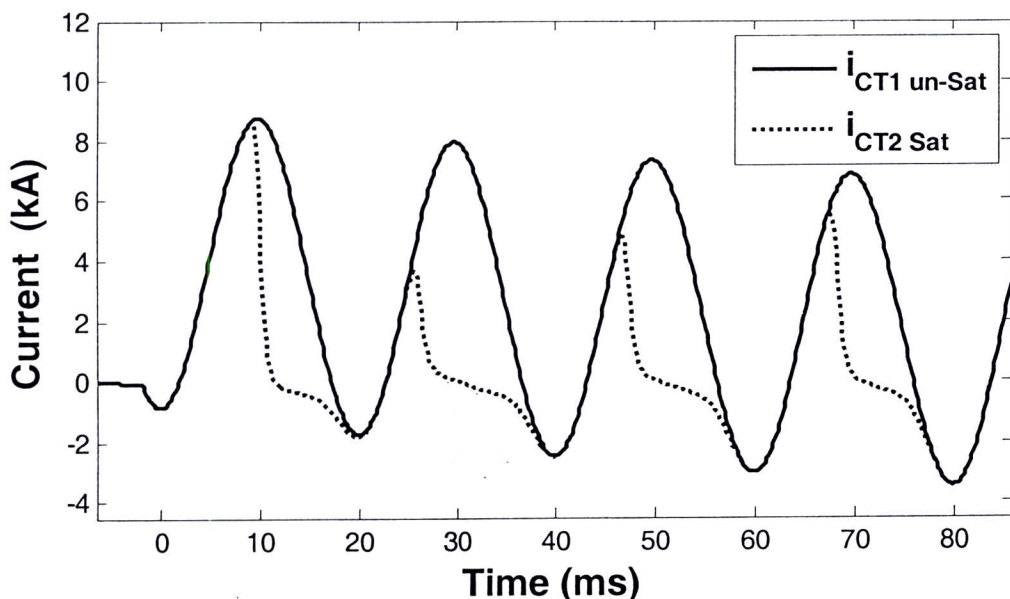
2. การตอบสนองต้องมีความแม่นยำด้านเวลา ในกรณีที่พนหาดผิดพร่อง หากรีเลย์ถูกกำหนดให้มีการหันน่วงเวลา รีเลย์จะต้องหันน่วงเวลาตรงตามที่กำหนดไว้เสมอ เช่นในกรณีของรีเลย์กระแสเกิน หากตรวจพบเหตุผิดพร่องและมีการกำหนดให้ตัวคงจรที่ 5 มิลลิวินาที ก็จะต้องทำการตัวคงจรที่ 5 มิลลิวินาทีพอดี จะช้าหรือเร็วกว่าที่กำหนดไม่ได้ ในกรณีของรีเลย์ที่ไม่มีการหันน่วงเวลา เช่น รีเลย์ผลต่าง รีเลย์จะต้องสั่งปลดวงจรให้เร็วที่สุดเท่าที่จะทำได้ อัลกอริธึมที่สามารถสั่งตัวคงจรได้รวดเร็ว และแม่นยำกว่าจะช่วยลดความรุนแรงของความเสียหายที่อาจจะเกิดขึ้นจากความผิดพร่องนั้น ๆ

สำหรับงานวิจัยชิ้นนี้จะมุ่งให้ความสนใจกับการพัฒนาอัลกอริธึมของรีเลย์ผลต่างให้มีเสถียรภาพสูง แม้สัญญาณที่ได้จากการตรวจวัดของหม้อแปลงกระแสจะเกิดการผิดเพี้ยนขึ้น รีเลย์ผลต่างจะยังต้องทำงานได้ถูกต้องเหมือนเดิม การผิดเพี้ยนของสัญญาณกระแสเน้นเป็นตัวสร้างปัญหาให้กับนักออกแบบรีเลย์มานานหลายสิบปี จนกระทั่งปัจจุบันยังไม่มีใครสามารถแก้ปัญหานี้ได้อย่างสมบูรณ์ การผิดเพี้ยนของสัญญาณกระแสส่งผลกระทบอย่างมากต่อการทำงานของรีเลย์ผลต่าง เนื่องจากการผิดเพี้ยนจะส่งผลให้การคำนวณขนาดของกระแสเกิดความคลาดเคลื่อน ภาพที่ 3-2 แสดงตัวอย่างของการป้องกันแบบผลต่างโดยมีการติดตั้งหม้อแปลงกระแสที่ขาเข้าและขาออกของอุปกรณ์ที่ได้รับการป้องกัน



ภาพที่ 3-2 การป้องกันอุปกรณ์โดยใช้กระแสผลต่าง

หากไม่มีความผิดพร่องใด ๆ เกิดขึ้นกับอุปกรณ์ที่รับการป้องกัน กระแส I_{ct1} จะต้องเท่ากับ I_{ct2} เสมอ แต่ในกรณีที่มีการเปล่งกระแสตัวได้ด้วยการอิมตัว กระแสที่ได้จากการคล漉ทุติกว่าของ หม้อแปลงกระแสจะเกิดการผิดเพี้ยนขึ้น ภาพที่ 3-3 แสดงสัญญาณกระแสค้านทุติกว่าของหม้อแปลงกระแส CT1 ซึ่งไม่เกิดการอิมตัว (เส้นทึบ) เปรียบเทียบกับสัญญาณกระแสที่ได้จากการตรวจวัดของหม้อแปลงกระแส CT2 ที่มีการอิมตัว (เส้นจุด) ความแตกต่างของสัญญาณกระแสที่วัดได้จากหม้อแปลงกระแสทั้งสองนั้นเป็นเหตุให้ relay ป้องกันสั่งปลดอุปกรณ์ออกจากระบบทั้งที่ไม่ได้มีความผิดพร่องใด ๆ เกิดขึ้น การตัดสินใจที่ผิดพลาดดังกล่าวทำให้เกิดไฟฟ้าดับขึ้นโดยไม่จำเป็น



ภาพที่ 3-3 สัญญาณจากหม้อแปลงกระแสที่มีและไม่มีการอิมตัว

การแก้ไขปัญหาการทำงานที่ผิดพลาดของรีเลย์ผลต่างอันเนื่องมาจากการผิดเพี้ยนของสัญญาณกระแสนั้นมีหลากหลายวิธี ดังที่ได้กล่าวไว้แล้วในบทที่ 2 แต่ละวิธีมีจุดเด่นและจุดด้อย ต่างกันไป สำหรับวิธีการของงานวิจัยนี้จะใช้หลักการในการแก้ปัญหาที่ง่ายและไม่ซับซ้อนคือ “สัญญาณมีพังส่วนที่ดีและส่วนที่ไม่ดี จงเลือกใช้แต่ส่วนที่ดีเท่านั้น”

3.2 การคัดเลือกสัญญาณที่มีคุณภาพดี

อัลกอริธึมของงานวิจัยนี้จะทำการคัดสรรแต่สัญญาณที่มีคุณภาพดีมาใช้งาน และทำการตัดส่วนของสัญญาณที่มีการผิดเพี้ยนหรือไม่แน่ใจว่ามีคุณภาพดีหรือไม่ทิ้งไป โดยใช้อัศัยคุณสมบัติสองประการของสัญญาณที่มีคุณภาพดีไม่มีการผิดเพี้ยนเป็นเกณฑ์ในการคัดเลือกสัญญาณ โดยสัญญาณที่มีคุณภาพดีจะมีคุณสมบัติดังนี้

1. สัญญาณกระแสที่มีคุณภาพดี ในช่วงระยะเวลาสั้น ๆ (สั้นกว่าหนึ่งในสิบส่วนของครบ) ขนาดของสัญญาณจะมีการเปลี่ยนแปลงน้อยมาก หรืออีกนัยหนึ่งคือ อัตราการเปลี่ยนแปลงของขนาดจะต้องมีค่าที่ต่ำมาก

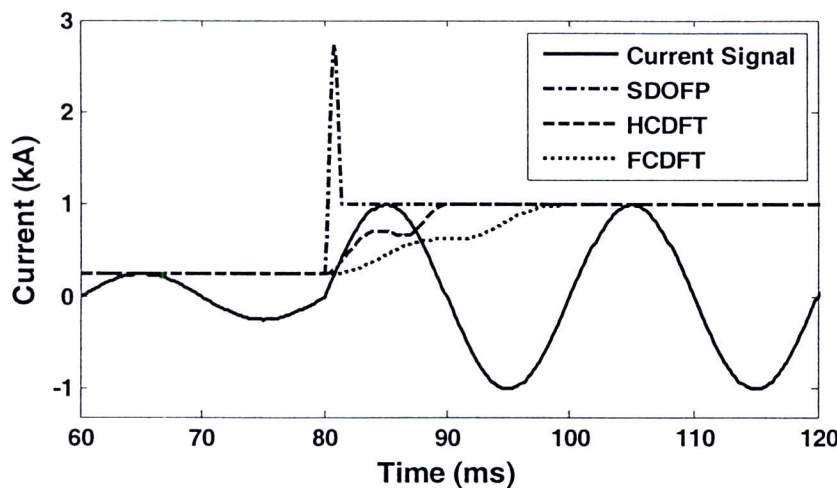
2. สัญญาณกระแสที่มีคุณภาพดีจะต้องมีความถี่เท่ากับความถี่มูลฐานของระบบไฟฟ้ากำลังเสมอ หากในระบบไฟฟ้ากำลังมีความถี่มูลฐานอยู่ที่ 50 Hz (ครบเวลาเป็น 20 มิลลิวินาที) មุมของสัญญาณกระแสที่ทำการตรวจวัดได้นั้นก็จะต้องมีอัตราการเปลี่ยนแปลงอยู่ที่ 360° ต่อ 20 มิลลิวินาทีเสมอ

3.3 การคำนวณขนาดและมุมของสัญญาณ

จะเห็นได้ว่าการตรวจสอบเงื่อนไขของสัญญาณว่ามีคุณภาพดีหรือไม่นั้น จำเป็นต้องทำการคำนวณหาปริมาณสองปริมาณคือ

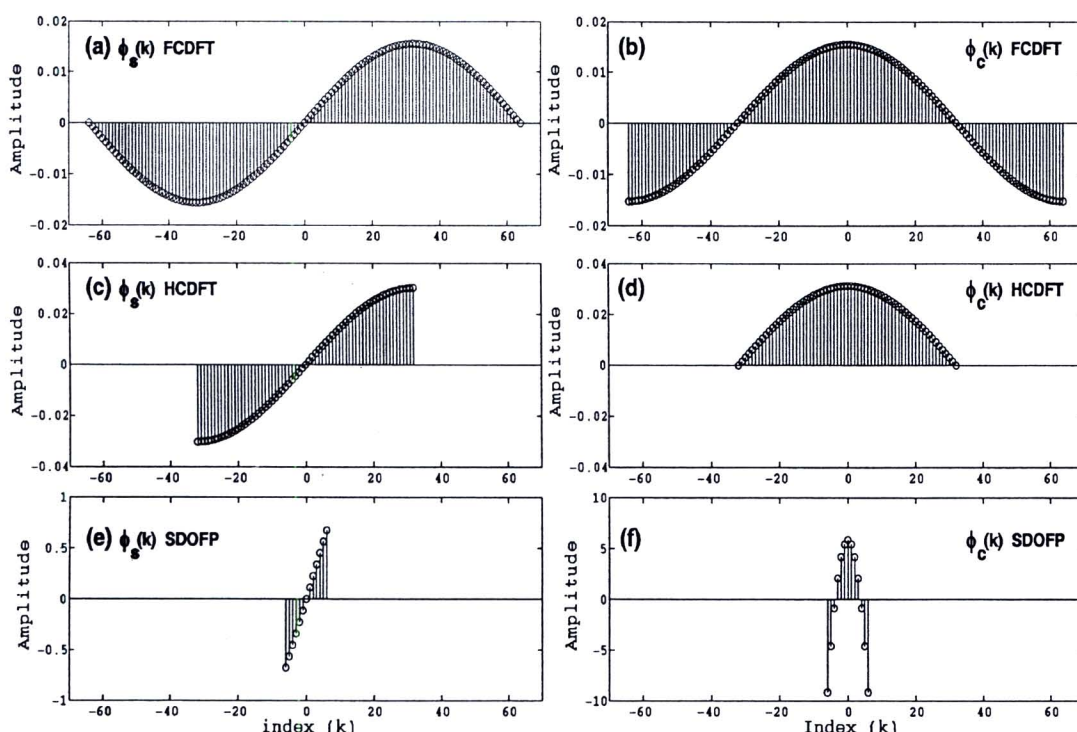
1. ต้องรู้ขนาดของสัญญาณในช่วงเวลาใด ๆ
2. ต้องรู้มุมหรือความถี่เชิงมุมของสัญญาณ ณ เวลาใด ๆ

วิธีในการคำนวณหาค่าของขนาดและมุมนั้นมีอยู่หลายวิธีการ เช่น วิธีการแปลงฟูริเยร์ไม่ต่อเนื่องแบบครึ่งคลื่น (Half Cycle Discrete Fourier Transform, HCDFT) วิธีการแปลงฟูริเยร์ไม่ต่อเนื่องแบบเต็มคลื่น (Full Cycle Discrete Fourier Transform, FCDFT) หรือ วิธีคู่ตัวกรองตั้งค่าแบบหน้าต่างแคบ (Short Data Window Orthogonal Filter Pair, SDOFP) เป็นต้น สำหรับงานวิจัยนี้จะเลือกประยุกต์ใช้ คู่ตัวกรองตั้งค่าแบบหน้าต่างแคบ (SDOFP) เพราะ SDOFP นั้นสามารถถูกรีเซ็ตได้เร็วกว่าวิธีการ FCDFT หรือ HCDFT ภาคที่ 3-4 แสดงสัญญาณกระแสที่มีการเปลี่ยนแปลงของขนาด จากที่ตอนเริ่มต้นสัญญาณจะมีขนาด 0.25 kA แต่เมื่อถึงเวลา 80 มิลลิวินาที ขนาดของสัญญาณกระแสได้เพิ่มขึ้นเป็น 1 kA ผลกระทบของการคำนวณขนาดด้วยวิธีการ HCDFT และ FCDFT นั้นจะต้องใช้เวลาถึง 10 และ 20 มิลลิวินาทีตามลำดับในการปรับค่าสัญญาณออกให้มีค่าเท่ากับค่าขนาดที่ถูกต้อง ในขณะที่วิธี SDOFP นั้นจะใช้เวลาเพียง 1.41 มิลลิวินาทีในการถูกรีเซ็ต แต่ค่าของขนาดที่ได้จากการคำนวณด้วยวิธีการ SDOFP นั้นมีข้อด้อยคือ ค่าสัญญาณขนาดของกระแสนั้นจะมีการพุ่งเกิน (Overshoot) ในช่วงที่มีการเปลี่ยนแปลงค่าขนาด ปัญหานี้จะถูกแก้ไขได้โดยอัลกอริธึมที่จะกล่าวถึงในหัวข้อ 3.4 และ 3.5



ภาพที่ 3-4 การเปรียบเทียบผลของการคำนวณหาขนาดของวิธี SDOFP HCDFT และ FCDFT

คู่ตัวกรองตั้งชากแบบหน้าต่างแคบ (Short Data Window Orthogonal Filter Pair, SDOFP) ซึ่งนำมาประยุกต์ใช้ในการหาค่าขนาดและมุมนี้ ใช้หลักและวิธีการคล้ายกับการหาขนาดของสัญญาณด้วยวิธีการแปลงฟูรีเยร์ไม่ต่อเนื่องแบบเต็มคลื่นหรือแบบครึ่งคลื่น (FCDFT และ HCDFT ตามลำดับ) จะต่างกันเพียงแต่ FCDFT หรือ HCDFT นั้นจะใช้ตัวกรองที่เป็นสัญญาณรูปไปไซน์และโโคไซน์เต็มคลื่นหรือครึ่งคลื่นในการคำนวณ ดังแสดงในภาพที่ 3-5(a), (b), (c) และ (d)



ภาพที่ 3-5 คู่ตัวกรองตั้งชากชนิดต่าง ๆ

สำหรับ SDOFP นั้นจะใช้ตัวกรองสองชุด โดยตัวกรองชุดแรก $\phi_s(k)$ จะเป็นบางส่วนของสัญญาณไซน์ ดังแสดงในภาพที่ 3-5(e) ส่วนตัวกรองที่สอง $\phi_c(k)$ จะเป็นสัญญาณบางส่วนของสัญญาณโคไซน์ ดังแสดงในภาพที่ 3-5(f)

3.3.1 คุณสมบัติของตัวกรอง $\phi_s(k)$ และ $\phi_c(k)$ สำหรับ SDOFP [29]

1. $\phi_s(k)$ ต้องเป็นสัญญาณบางส่วนของสัญญาณไซน์และ $\phi_c(k)$ ต้องเป็นสัญญาณบางส่วนของสัญญาณโคไซน์
2. $\phi_s(k)$ และ $\phi_c(k)$ ต้องเป็นคู่ตั้งฉากกัน (Orthogonal Pair)
3. อัตราการขยายสัญญาณของคู่ตัวกรองตั้งหากที่ความถี่เชิงมุมมูลฐาน (ω_0) จะต้องมีค่าเท่ากับหนึ่ง
4. เพื่อลดผลกระทบของสัญญาณกระแสตรง ผลรวมของ $\phi_s(k)$ และ ผลรวมของ $\phi_c(k)$ จะต้องเป็นศูนย์

จากเงื่อนไขสี่ข้อข้างต้น หากหน้าต่างข้อมูล (Data Window) ที่มีความเวลาการสุ่มสัญญาณ เป็น Δt และมีความยาวของหน้าต่างข้อมูลเท่ากับ L ซึ่งเป็นจำนวนเต็มคี่ เราสามารถสร้าง $\phi_s(k)$ และ $\phi_c(k)$ ได้ดังสมการที่ (3-1) และ (3-2) ตามลำดับ

$$\phi_s(k) = \frac{\sin(\omega_0 k \Delta t)}{\gamma_s} \quad (3-1)$$

$$\phi_c(k) = \frac{\cos(\omega_0 k \Delta t) - \frac{\sin(0.5 * \omega_0 L \Delta t)}{0.5 * \omega_0 L \Delta t}}{\gamma_c} \quad (3-2)$$

โดยที่ $k \in \left\{ \frac{(L-1)}{2}, (L-1), \frac{(L-1)}{2} - (L-2), \dots, \frac{(L-1)}{2} - (L-L) \right\}$ สำหรับค่า γ_s และ γ_c สามารถคำนวณได้โดยใช้สมการที่ (3-3) และ (3-4) ตามลำดับ ค่าทั้งสองนี้เป็นค่าพลังงานของผลตอบสนองอิมพลัส (Impulse Response) ของตัวกรองไซน์และโคไซน์ที่ความถี่มูลฐาน เหตุผลที่ต้องมีการหารด้วยค่าคงที่ γ_s และ γ_c ในสมการที่ (3-1) และ (3-2)นั้น ก็เพื่อที่จะทำให้อัตราขยายสัญญาณที่ความถี่มูลฐานมีค่าเป็นหนึ่ง ส่วนพจน์ทางด้านขวาสุดของ $\phi_c(k)$ ในสมการที่ (3-2) ซึ่งเป็นพึงกշันของไซน์นั้น มีไว้เพื่อทำให้ผลรวมของ $\phi_c(k)$ มีค่าเป็นศูนย์ ทำให้สามารถลดผลกระทบของสัญญาณกระแสตรงที่อาจจะทำให้ผลการคำนวณคลาดเคลื่อนได้

$$\gamma_s = \sum_{k=\frac{(L-1)}{2}}^{(L-1)} \left(\sin^2(\omega_0 k \Delta t) \right) \quad (3-3)$$

$$\gamma_c = \sum_{k=\frac{(l-l)}{2}}^{\frac{(l-l)}{2}} \left(\left(\cos(\omega_0 k \Delta t) - \frac{\sin(0.5 \omega_0 l \Delta t)}{0.5 \omega_0 l \Delta t} \right) \times \cos(\omega_0 k \Delta t) \right) \quad (3-4)$$

3.3.2 การคำนวณเพื่อหาขนาดและมุมของสัญญาณ

หลังจากที่ได้ตัวกรอง $\phi_s(k)$ และ $\phi_c(k)$ ซึ่งเป็นคู่ตัวกรองตั้งฉากแบบหน้าต่างแคบ (SDOFP) มาแล้วนั้น ในการคำนวณหาค่าขนาดและมุมของสัญญาณกระแสทำได้โดยนำสัญญาณกระแส $i(n)$ ไปผ่านกระบวนการการคอนโวลูชัน (Convolution) กับตัวกรอง $\phi_s(k)$ และ $\phi_c(k)$ ดังสมการที่ (3-5) และ (3-6) ผลลัพธ์ที่ได้จากการหักลบสองคือ ค่าขนาดจริง $a(n)$ และขนาดจินตภาพ $b(n)$ ของสัญญาณ $i(n)$ สำหรับขนาดของสัญญาณ $I_i(n)$ สามารถคำนวณได้ตามสมการที่ (3-7)

$$a(n) = i(n) * \phi_s(k) \quad (3-5)$$

$$b(n) = i(n) * \phi_c(k) \quad (3-6)$$

$$I_i(n) = \sqrt{a^2(n) + b^2(n)} \quad (3-7)$$

ในส่วนของการคำนวณหาค่ามุม (เทียบกับสัญญาณไชน์) ของสัญญาณนี้จะใช้สมการที่ (3-8) ในการคำนวณ โดยที่ MOD₃₆₀ คือฟังก์ชันการหาค่าโมดูลัสหลังการหาร (Modulus After Division) ด้วย 360 ส่วนของพจน์ขวาสุดของสมการที่ (3-8) นั้นมีหน้าที่ในการชดเชยการหน่วง (Delay) ของการกรองสัญญาณ

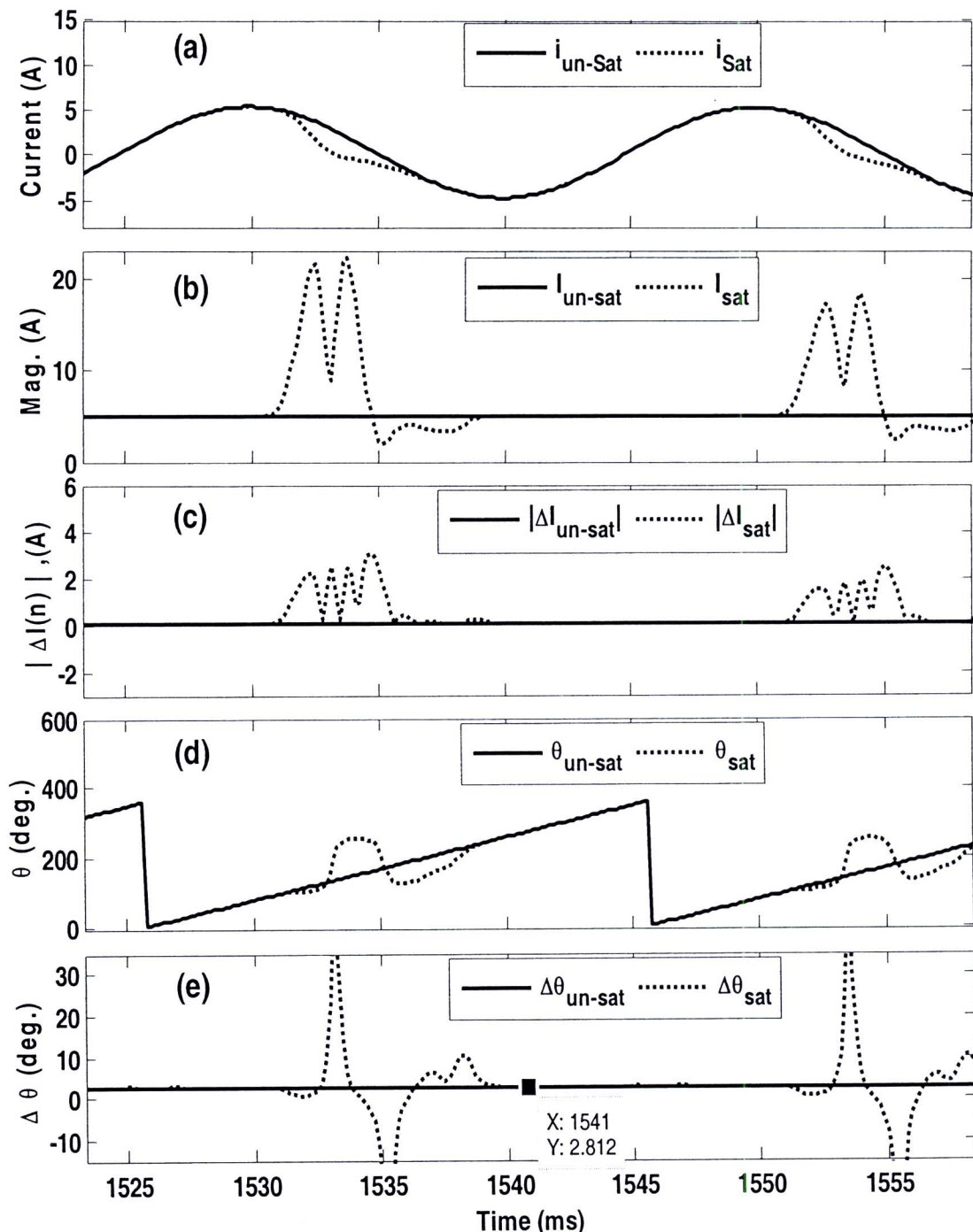
$$\theta(n) = \begin{cases} 90^\circ + \tan^{-1} \frac{a(n)}{b(n)} + \left(\frac{l}{2} \cdot \frac{360}{N} \right) & , b \geq 0 \\ \text{MOD}_{360} \left(270^\circ + \tan^{-1} \frac{a(n)}{b(n)} + \left(\frac{l}{2} \cdot \frac{360}{N} \right) \right) & , b < 0 \end{cases} \quad (3-8)$$

ในตอนนี้อัลกอริธึมมีข้อมูลทั้งขนาดและมุมของสัญญาณกระแส ข้อมูลเหล่านี้จะถูกนำไปใช้ในการตัดสินใจ สำหรับการตัดเลือกสัญญาณว่าส่วนใดที่มีคุณภาพดี ส่วนใดที่มีการผิดเพี้ยน

3.4 การบ่งชี้สัญญาณคุณภาพดี

ภาพที่ 3-6(a) แสดงกระบวนการที่มีข้อมูลของหม้อแปลงกระแส CT1_{un-sat} และ CT2_{sat} (เส้นทึบ และเส้นจุดตามลำดับ) หม้อแปลงกระแสทั้งสองได้ทำการวัดกระแสด้านปฐมภูมิที่มีขนาดเท่ากัน แต่เนื่องจาก CT2_{sat} มีพื้นที่หน้าตัดของแกนเหล็กที่เล็กกว่าพื้นที่หน้าตัดของหม้อแปลง CT1_{un-sat} มาก ส่งผลให้กระแสที่ผ่านแกนทุติยภูมิของ CT2_{sat} เกิดการผิดเพี้ยนอันเนื่องมาจากการอิ่มตัวของแกนหม้อแปลง จะสังเกตได้ว่าสัญญาณกระแสที่มีการผิดเพี้ยนนั้น ไม่ได้เกิดขึ้นตลอดช่วงเวลาของ

cabin สัญญาณกระแส แต่จะมีเพียงบางช่วงเท่านั้นที่มีความแตกต่างกัน (เกิดการผิดเพี้ยนที่ช่วงประมาณ 32-39 มิลลิวินาที และ 53-60 มิลลิวินาที) จากการนำเอาสัญญาณกระแสทั้งสองไปผ่านกระบวนการคำนวณหาค่าของขนาดและมุมของสัญญาณกระแส



ภาพที่ 3-6 ความแตกต่างระหว่างสัญญาณที่มีคุณภาพดีและสัญญาณที่มีการผิดเพี้ยน

ดังที่ได้กล่าวในหัวข้อก่อนนี้ว่า คุณสมบัติสองประการที่เป็นตัวบ่งชี้ว่าสัญญาณมีคุณภาพดีสามารถนำไปใช้ประมวลผลได้ คือ 1. มีขนาดคงที่ 2. มีอัตราการเปลี่ยนแปลงของมุมเป็น 360° ต่อ

ค่าผลการคำนวณค่าขนาดได้แสดงไว้ดังภาพที่ 3-6(b) ขนาดของสัญญาณกระแสที่มีคุณภาพดีจาก $CT1_{un-sat}$ (เส้นทึบ) จะมีค่าคงที่อยู่ที่ 5 A เสมอ สำหรับขนาดของสัญญาณกระแสที่ได้จากการเปลี่ยน $CT2_{sat}$ จะมีขนาดเท่ากับ 5 A เช่นกัน เว้นแต่ช่วงที่สัญญาณเกิดการผิดเพี้ยน ขนาดของสัญญาณกระแสจะมีการเปลี่ยนแปลงอยู่ตลอดช่วงเวลาดังกล่าว ในการตรวจสอบว่าขนาดของกระแสนั้นคงที่หรือไม่ ทำได้โดยการคำนวณหาค่าสัมบูรณ์ของอัตราการเปลี่ยนแปลงของขนาดหรือ $| \Delta I(n) |$ ว่ามีค่าไอลีกเคียงคูณย์หรือไม่ ดังแสดงในภาพที่ 3-6(c) ช่วงที่สัญญาณมีคุณภาพดี อัตราการเปลี่ยนแปลงของขนาดจะมีค่าต่ำมาก สำหรับผลการคำนวณค่ามุมของสัญญาณกระแสนั้นได้ถูกแสดงไว้ดังภาพที่ 3-6(d) ค่ามุมของสัญญาณกระแสที่มีคุณภาพดีจะมีลักษณะเป็นเส้นตรงที่มีความชัน 360° ต่อค่า ต่างจากค่ามุมของสัญญาณกระแสขณะเกิดการอิ่มตัวซึ่งจะไม่เป็นเส้นตรง

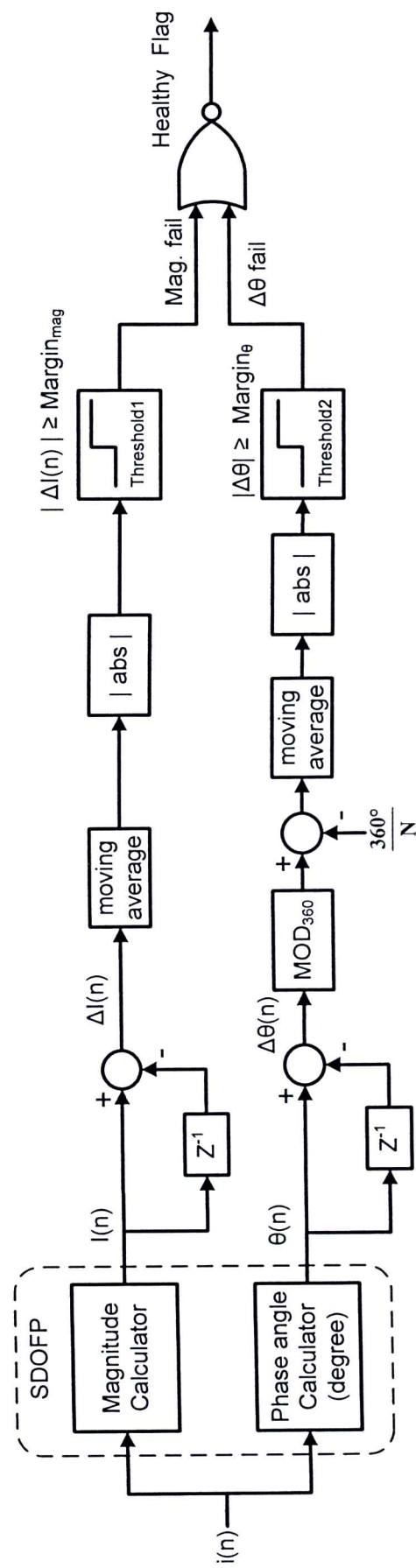
เพื่อที่จะทำการคัดสรรสัญญาณที่มีคุณภาพดีมาใช้ในการคำนวณ ผังการให้ผลของสัญญาณดังแสดงในภาพที่ 3-7 จึงถูกนำมาใช้ โดยขนาด $I(n)$ และมุม $\theta(n)$ จะถูกคำนวณด้วยวิธีถูกตัวกรองหน้าต่างແคน (SDOFP) ผังส่วนด้านบนของภาพที่ 3-7 จะทำหน้าที่ตรวจสอบเงื่อนไขข้อที่ 1 คือตรวจสอบว่าขนาดของสัญญาณมีความคงที่หรือไม่ หลังจากที่ SDOFP ได้ส่งค่า $I(n)$ มาแล้ว ค่าดังกล่าวจะถูกส่งต่อไปยังส่วนของการหาค่าอัตราการเปลี่ยนแปลง $\Delta I(n)$ โดยใช้การคำนวณดังสมการที่ (3-10)

$$\Delta I(n) = I(n) - I(n-1) \quad (3-10)$$

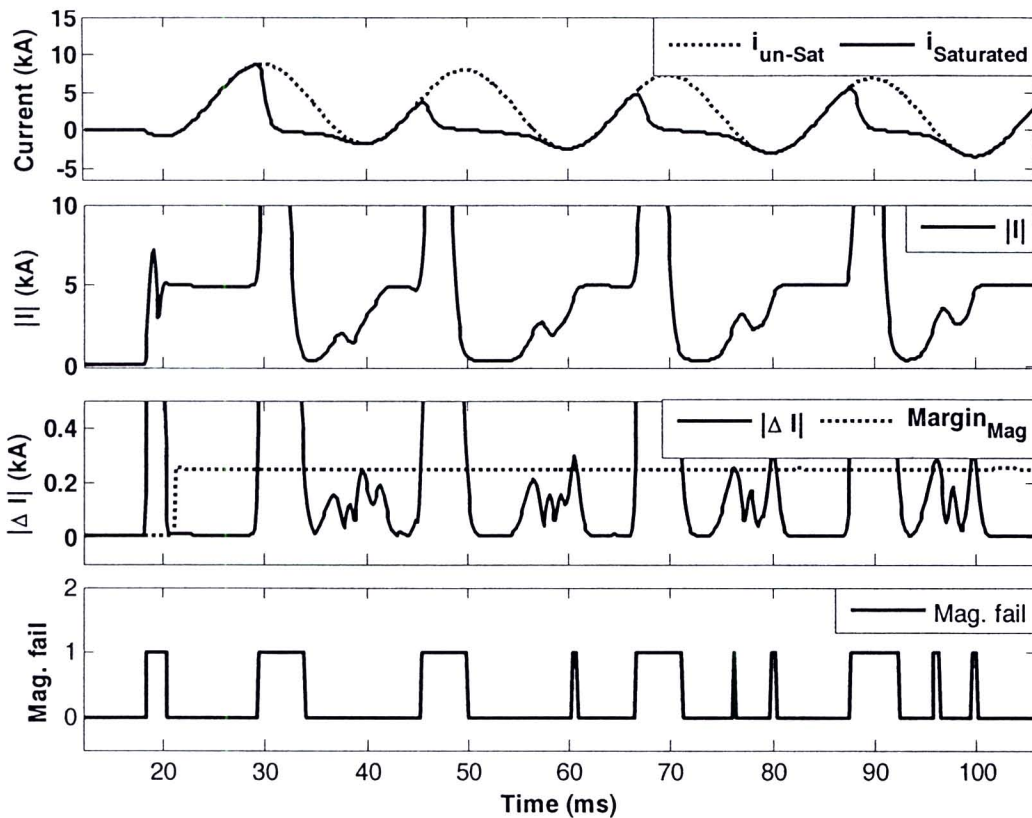
เมื่อได้ค่า $\Delta I(n)$ มาแล้วจึงนำค่าดังกล่าวไปผ่านกระบวนการกรองความถี่ต่อผ่านแบบ Moving Average เพื่อทำให้สัญญาณมีความเรียบเพิ่มขึ้น [29] แล้วจึงทำการหาค่าสัมบูรณ์ของอัตราการเปลี่ยนแปลงของขนาด หรือ $| \Delta I(n) |$ หากสัญญาณในขณะนั้นมีคุณภาพดี ค่า $| \Delta I(n) |$ จะต้องมีค่าที่ต่ำมากดังแสดงตัวอย่างการเปรียบเทียบในภาพที่ 3-8 ในการตรวจสอบว่า $| \Delta I(n) |$ มีค่าต่ำหรือไม่ โดยค่าดังกล่าวจะถูกนำมาเปรียบเทียบกับค่า $Margin_{mag}$ โดยที่ค่า $Margin_{mag}$ นี้เป็นค่าที่ได้มาจากการคำนวณดังสมการที่ (3-11) โดยที่ค่า $I_{com}(n-1)$ คือค่าของขนาดกระแสในรอบการคำนวณก่อนหน้าซึ่งได้รับการปรับปรุงให้ถูกต้องแล้ว ส่วนค่า k_m เป็นค่าคงที่ ตัวอย่างเช่น หากต้องการให้ค่าอัตราการเปลี่ยนแปลงของขนาด มีค่าน้อยกว่า 5 เปรอร์เซ็นต์ของขนาดกระแสนั้น จะต้องกำหนดให้ค่า k_m เป็น 0.05

$$Margin_{mag} = k_m \times I_{com}(n-1) \quad (3-11)$$

หากค่า $| \Delta I(n) |$ มีค่าต่ำกว่า $Margin_{mag}$ จะส่งผลให้ค่าสัญญาณบ่งชี้ Magnitude Fail (Mag. Fail) อยู่ในสถานะไม่ทำงาน (Non Active) ในทางกลับกัน หากค่า $| \Delta I(n) |$ มีค่าสูงกว่า $Margin_{mag}$ จะส่งผลให้ค่าสัญญาณบ่งชี้ Mag. Fail อยู่ในสถานะทำงาน (Active) ซึ่งหมายถึงสัญญาณมีคุณภาพไม่ดี



ภาพที่ 3-7 ผังการร่างรั้วคุณภาพของสัญญาณ

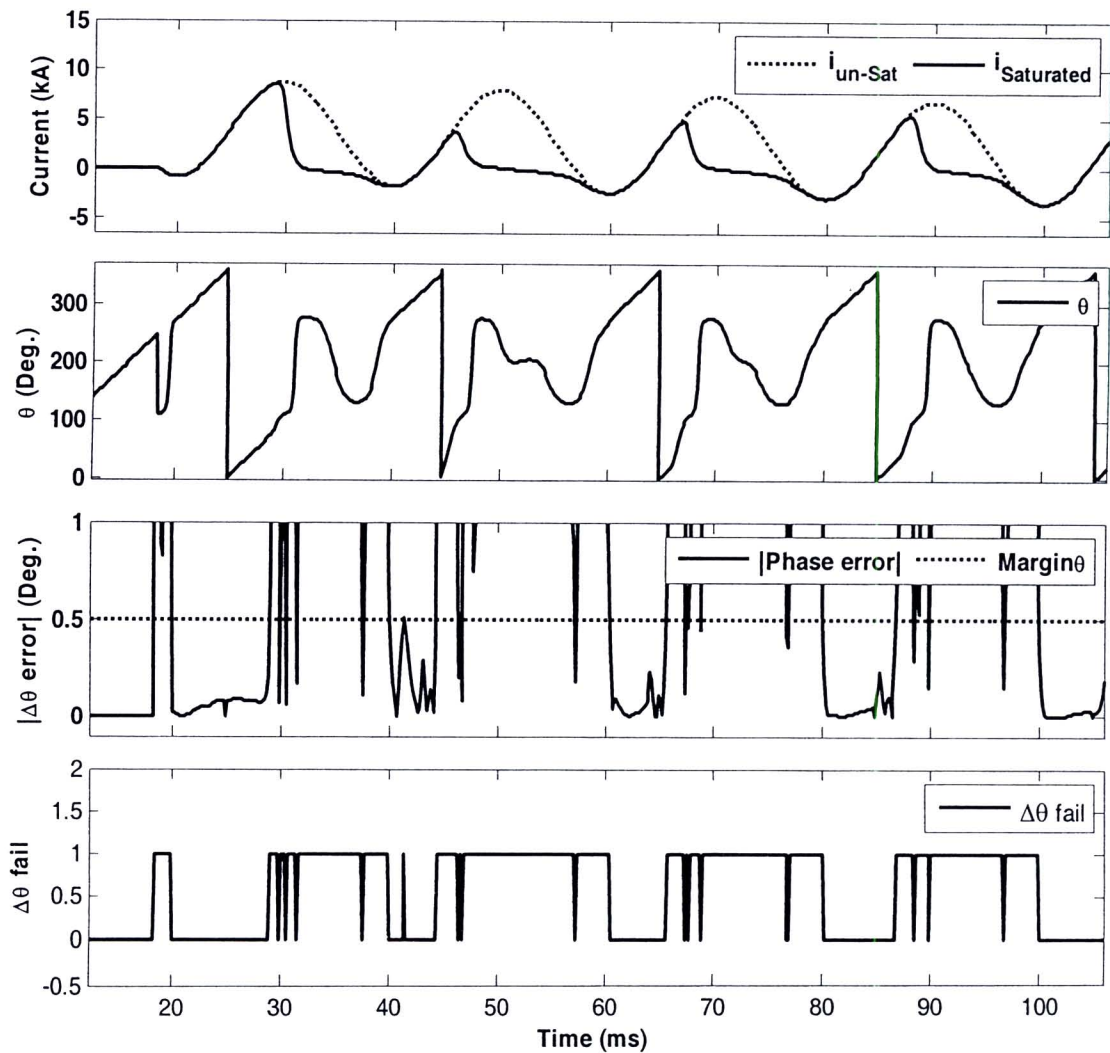


ภาพที่ 3-8 การตรวจสอบคุณสมบัติด้านขนาดของสัญญาณคุณภาพดี

ผังส่วนด้านล่างของภาพที่ 3-7 จะทำหน้าที่ตรวจสอบเงื่อนไขข้อที่ 2 คือ ตรวจสอบว่าอัตราการเปลี่ยนแปลงของมุมของสัญญาณมีค่าเท่ากับ 360° ต่อ cabin หรือไม่ หลังจากที่ SDOFP ได้ส่งค่า $\theta(n)$ มาแล้ว ค่าดังกล่าวจะถูกส่งต่อไปยังส่วนของการหาค่าอัตราการเปลี่ยนแปลง $\Delta\theta(n)$ โดยใช้การคำนวณดังสมการที่ (3-12)

$$\Delta\theta(n) = \theta(n) - \theta(n-1) \quad (3-12)$$

เมื่อได้ค่า $\Delta\theta(n)$ มาแล้ว อัลกอริธึมจะทำการตรวจสอบค่า $\Delta\theta(n)$ ว่ามีค่าเป็นลบหรือไม่ หากเป็นลบให้ทำการ บวกด้วยค่า 360° เช่นในกรณีที่ $\theta(n)$ และ $\theta(n-1)$ มีค่าเท่ากับ 2° และ 359° ตามลำดับ ส่งผลให้ $\Delta\theta(n)$ มีค่าเป็น -357° หลังจากทำการบวกด้วยค่า 360° จะได้ผลลัพธ์เป็น 3° ซึ่งการกระทำดังกล่าวข้างต้นคือการทำโมดูลัสหลังการหารด้วย 360 (Modulus After Division, MOD₃₆₀) หลังจากนั้นค่า อัตราการเปลี่ยนแปลงของมุมจึงถูกนำมา проверสอบว่ามีค่าเป็น 360° ต่อ cabin หรือไม่ หากค่าสัมบูรณ์ของผลต่างระหว่าง $\Delta\theta(n)$ กับค่า $360/N$ มีค่าน้อยกว่าค่า Margin_θ จะส่งผลให้ค่าสัญญาณบ่งชี้ $\Delta\theta_{fail}$ อยู่ในสถานะไม่ทำงาน (Non Active) ดังแสดงตัวอย่างการเปรียบเทียบในภาพที่ 3-9 ในทางกลับกัน หากค่า $\Delta\theta(n)$ ต่างจากค่า $360/N$ มากกว่าค่า Margin_θ จะส่งผลให้ค่าสัญญาณบ่งชี้ $\Delta\theta_{fail}$ อยู่ในสถานะทำงาน (Active) ซึ่งหมายถึงสัญญาณมีคุณภาพไม่ดี



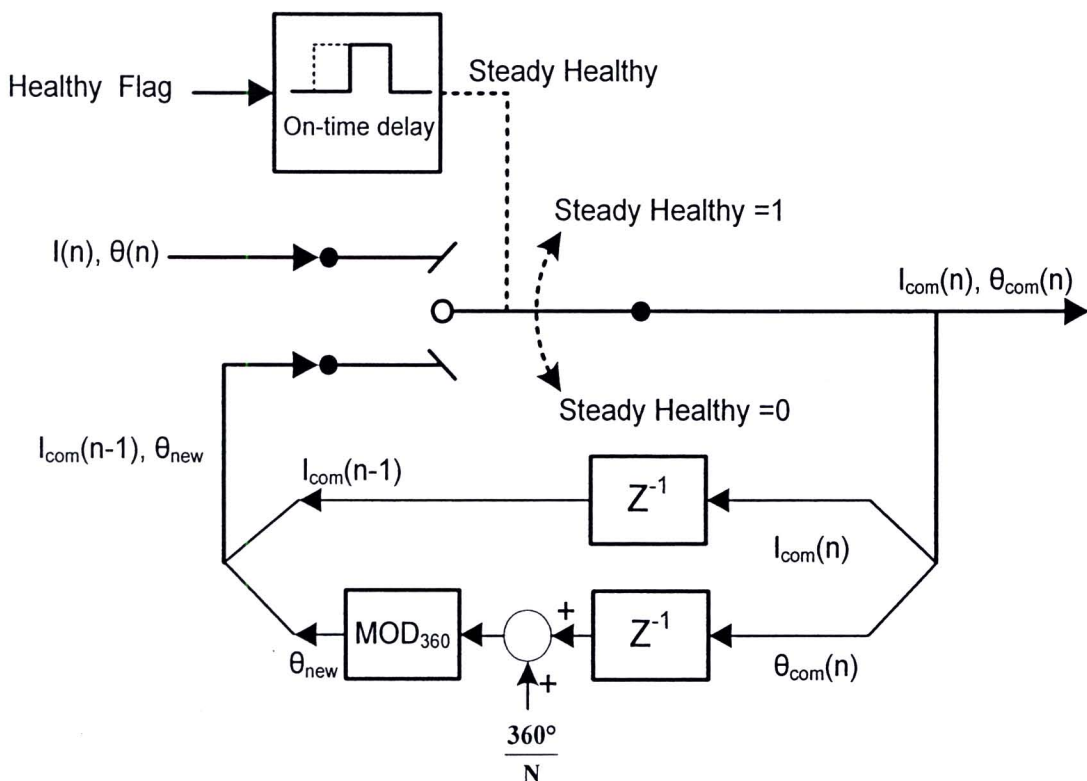
ภาพที่ 3-9 การตรวจสอบคุณสมบัติด้านมุมของสัญญาณคุณภาพดี

หากสัญญาณบ่งชี้ว่า Mag.fail และ $\Delta\theta\text{Fail}$ อยู่ในสถานะไม่ทำงาน จะส่งผลให้สัญญาณบ่งชี้ Healthy Flag อยู่ในสถานะทำงาน ซึ่งสัญญาณนี้จะเป็นตัวบ่งชี้ว่าสัญญาณในช่วงเวลาหนึ่งเป็นสัญญาณที่มีคุณภาพดีหรือไม่ หาก Healthy Flag อยู่ในสถานะทำงาน หมายถึงสัญญาณในขณะนั้นมีคุณภาพดี สัญญาณบ่งชี้นี้จะถูกนำมาใช้ในการปรับแต่งสัญญาณกระแสให้มีคุณภาพดีซึ่งจะกล่าวถึงในหัวข้อถัดไป

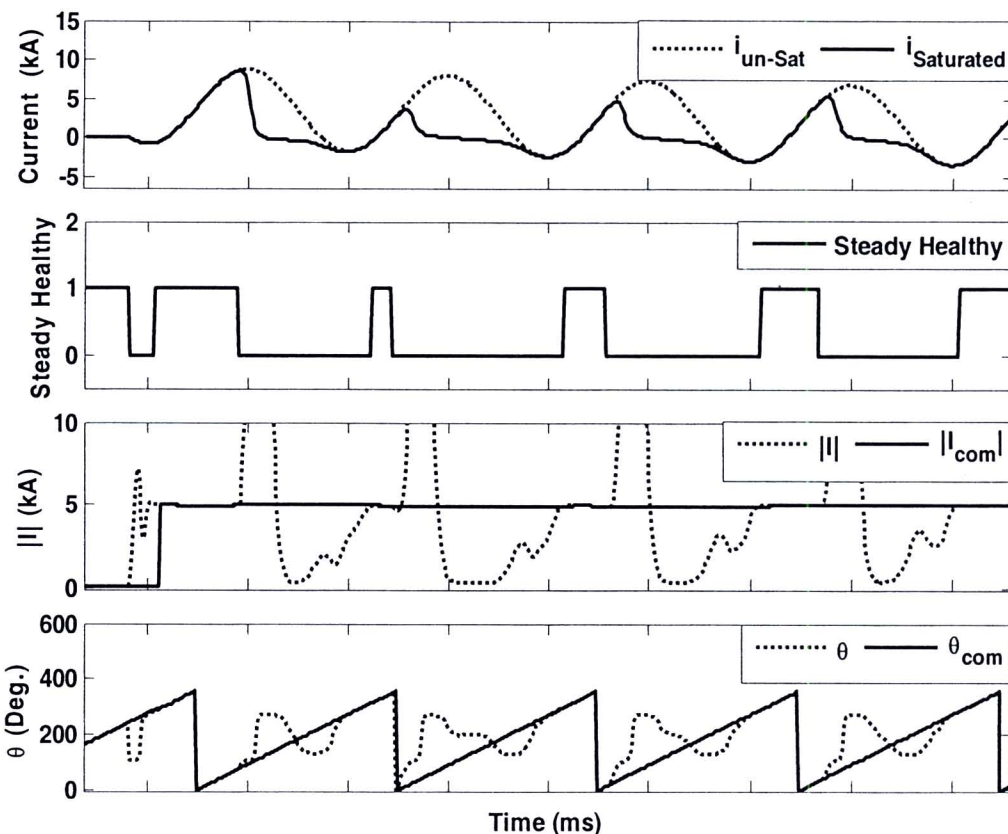
3.5 การคัดสรรสัญญาณคุณภาพดี

หลังจากที่ได้ทำการคำนวณหาสัญญาณ Healthy Flag ซึ่งใช้สำหรับบ่งชี้ว่าสัญญาณมีคุณภาพดีหรือไม่ สัญญาณดังกล่าว จะถูกส่งต่อไปยังกระบวนการตัดต่อสัญญาณซึ่งจะทำการคัดเอ้าส่วนของสัญญาณขนาดที่มีคุณภาพดีคงไว้และตัดส่วนที่ไม่มั่นใจในคุณภาพออก โดยใช้ผังการตัดต่อสัญญาณดังแสดงในภาพที่ 3-10

สัญญาณ Healthy Flag จะถูกตรวจสอบด้วย On-time Delay Module ซึ่งจะคอยตรวจสอบให้แน่ใจว่าสัญญาณ Healthy Flag อยู่ในสถานะทำงานอย่างต่อเนื่องหรือไม่ หากสัญญาณ Healthy Flag อยู่ในสถานะทำงานติดต่อกันมากกว่า 3 จุด จะส่งผลให้ค่าสัญญาณขาออก (Steady Healthy) อยู่ในสถานะทำงาน ในกรณีที่สัญญาณ Steady Healthy อยู่ในสถานะทำงาน ขนาดและมุมของสัญญาณกระแสขาออกที่ผ่านการปรับปรุง ($I_{com}(n)$ และ $\theta_{com}(n)$ ตามลำดับ) จะถูกกำหนดให้มีค่าเท่ากับขนาดและมุมที่ได้จากการคำนวณของกระบวนการ SDOFP โดยตรง ($I(n)$ และ $\theta(n)$ ตามลำดับ) ดังแสดงในภาพที่ 3-10 ในทางตรงกันข้าม หากสัญญาณ Steady Healthy อยู่ในสถานะไม่ทำงาน ขนาดและมุมของกระแสขาออกที่ผ่านการปรับปรุง ($I_{com}(n)$) จะถูกกำหนดให้มีค่าเท่ากับขนาดของกระแสที่มีการปรับปรุงแล้วในวงรอบการคำนวณก่อนหน้า ($I_{com}(n-1)$) สำหรับค่ามุมของสัญญาณกระแสจะถูกกำหนดให้มีค่าเท่ากับผลรวมระหว่าง ค่ามุมของสัญญาณก่อนหน้า ($\theta_{com}(n-1)$) กับค่า $360/N$ โดย N เป็นความถี่ของการสุ่มต่อคาน หลังจากที่ผ่านกระบวนการคัดสรรแล้ว อัลกอริธึมจะได้ค่าของขนาดและมุมของสัญญาณกระแสที่มีความถูกต้องสูงขึ้น ดังแสดงในภาพที่ 3-11



ภาพที่ 3-10 ผังการคัดเลือกและการตัดต่อสัญญาณ

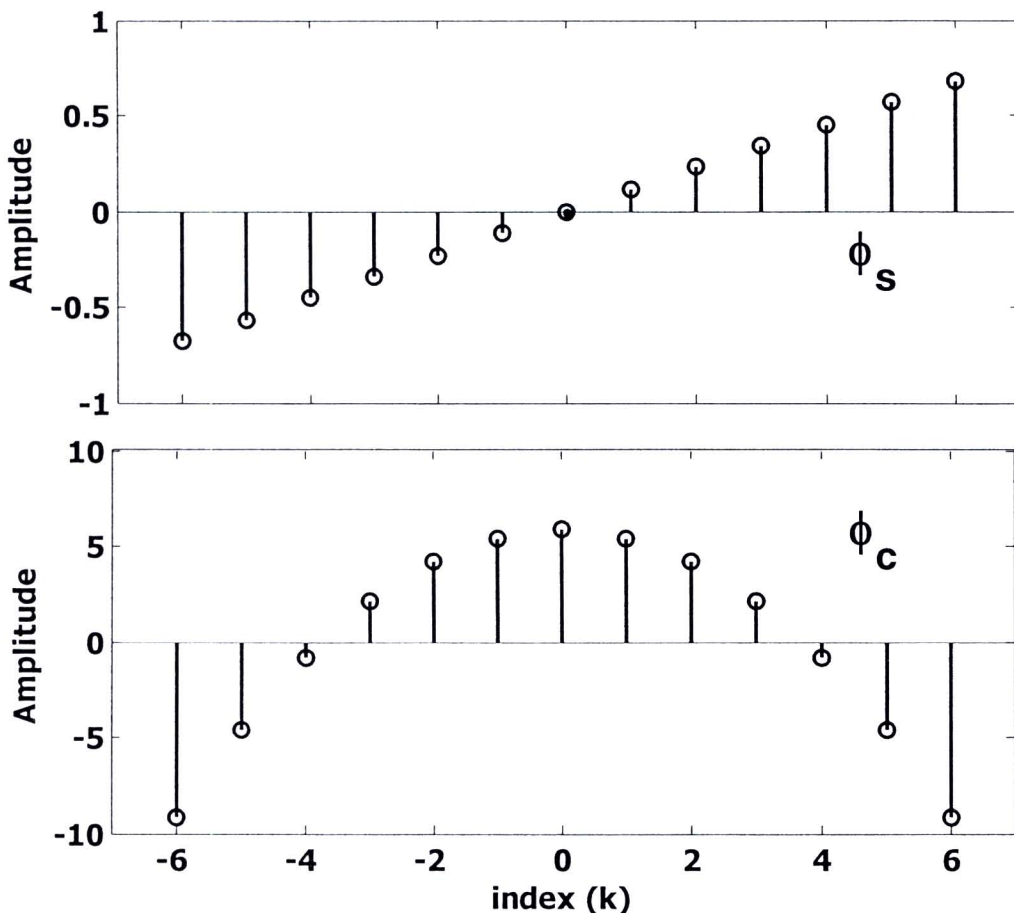


ภาพที่ 3-11 การปรับแต่งสัญญาณซึ่งเกิดการผิดเพี้ยนอันเนื่องมาจากการอิ่มตัวของหม้อแปลง

3.6 การทดสอบเบื้องต้นในการคำนวณหาค่าขนาดและมุมของสัญญาณกระแส

หลังจากที่ได้ทำการออกแบบอัลกอริธึมในการคำนวณหาค่าของขนาดและมุมของสัญญาณกระแสแล้ว จะต้องทำการตรวจสอบประสิทธิภาพของอัลกอริธึม โดยนำสัญญาณในหลากหลายกรณีใช้ในการทดสอบ ดังนี้

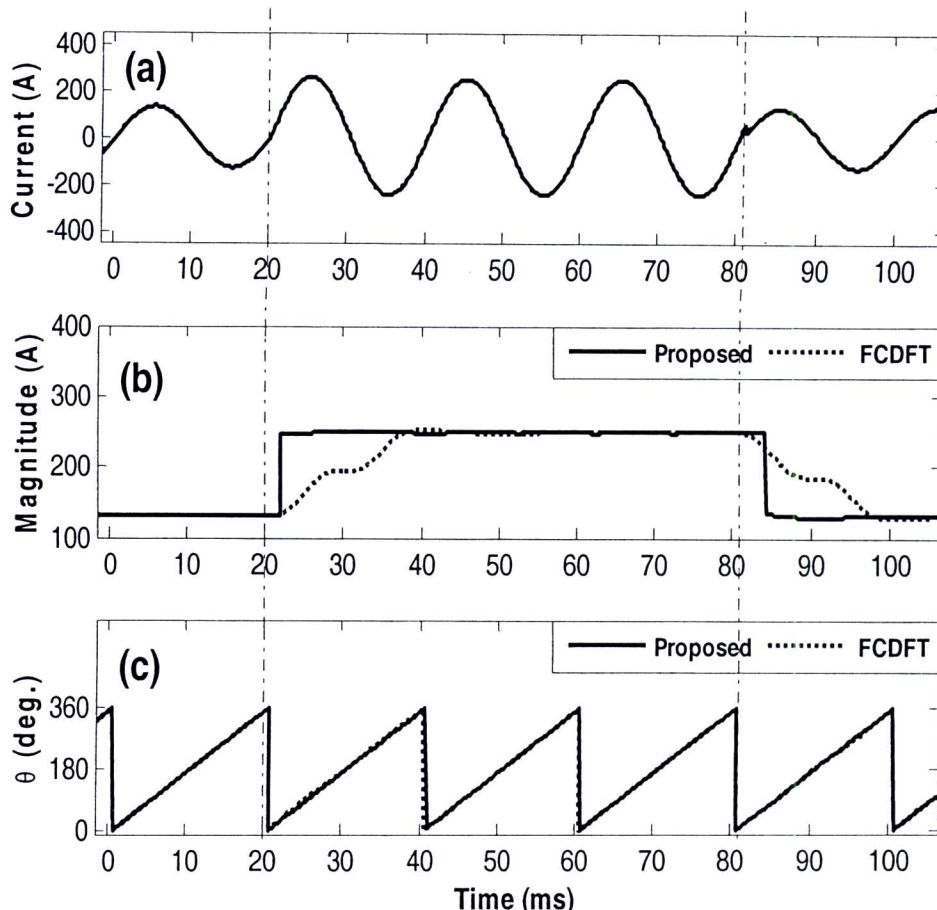
- กรณีที่ขนาดของกระแสมีการเปลี่ยนแปลง
 - กรณีที่เกิดการอิ่มตัวของหม้อแปลงไม่รุนแรง (สัดส่วนของ X/R เป็น 3)
 - กรณีที่เกิดการอิ่มตัวของหม้อแปลงอย่างรุนแรง (สัดส่วนของ X/R เป็น 30)
 - กรณีที่มีฟลักซ์แม่เหล็กตอกด้านในแกนของหม้อแปลงกระแส
 - กรณีที่มีการเปลี่ยนแปลงของกระแสผิดพร่องในระหว่างกระบวนการตรวจจับการอิ่มตัว
 - กรณีที่มีกระแสพุ่งเข้า (Inrush Current) ส่งผลให้แกนของหม้อแปลงกำลังเกิดการอิ่มตัว
- ในการทดสอบนี้ผู้วิจัยได้ใช้สัญญาณกระแสที่ได้จากโปรแกรมจำลองทางคอมพิวเตอร์ โดยระบบไฟฟ้ามีความถี่ 50 Hz มีการสูมสัญญาณที่ความถี่ 6.4 kHz (128 จุดต่อคลาบ) และในการคำนวณหาค่าขนาดและมุมนี้จะใช้หน้าต่างข้อมูลขนาด 11 จุด ใช้คู่ตัวกรองตั้งจาก $\phi_s(k)$ และ $\phi_c(k)$ ดังแสดงในภาพที่ 3-12



ภาพที่ 3-12 ผลตอบสนองอิมพัลส์ของคู่ตัวกรองตั้งฉาก $\phi_s(k)$ และ $\phi_c(k)$

3.6.1 กรณีที่ขนาดของกระแสภาระมีการเปลี่ยนแปลง

ในการทดสอบการคำนวณหาค่าขนาดและมุมของสัญญาณในกรณีที่มีการเปลี่ยนแปลงของกระแสภาระนั้น มีวัตถุประสงค์ที่จะทดสอบความไวในการตอบสนองต่อการเปลี่ยนแปลงของขนาดสัญญาณ อัลกอริธึมที่ดีจะต้องสามารถปรับค่าสัญญาณขาออกให้มีค่าเท่ากับขนาดของสัญญาณ โดยใช้เวลาสั้นและมีความคลาดเคลื่อนน้อยที่สุด ดังนั้นผลของขนาดและมุมที่ได้จากการคำนวณโดยวิธีการที่งานวิจัยนี้นำเสนอจะถูกนำมาเปรียบเทียบกับการคำนวณด้วยวิธีการแปลงฟูริเยร์ไม่ต่อเนื่องแบบเต็มคลื่น (FCDFT) ซึ่งเป็นวิธีที่ให้ค่าของขนาดและมุมของสัญญาณในสภาวะคงตัวได้ถูกต้องแม่นยำ ในตอนเริ่มการทดสอบ สัญญาณมีขนาดเท่ากับ 130.4 A แต่เมื่อเวลาผ่านไป 20 มิลลิวินาที ขนาดกระแสได้เพิ่มขึ้นเป็น 248.6 A และลดลงมาเป็น 130.4 A เมื่อันเดินที่เวลา 81 มิลลิวินาที ผลของการเปรียบเทียบของทั้งสองวิธีการได้ถูกแสดงไว้ในภาพที่ 3-13 โดยภาพที่ 3-13(a) นั้นแสดงรูปสัญญาณที่ใช้ในการทดสอบ ภาพที่ 3-13(b) แสดงค่าของขนาดที่คำนวณได้โดยวิธีการที่งานวิจัยนี้นำเสนอ (สีน้ำเงิน) เทียบกับค่าขนาดที่ได้จากการ FCDFT

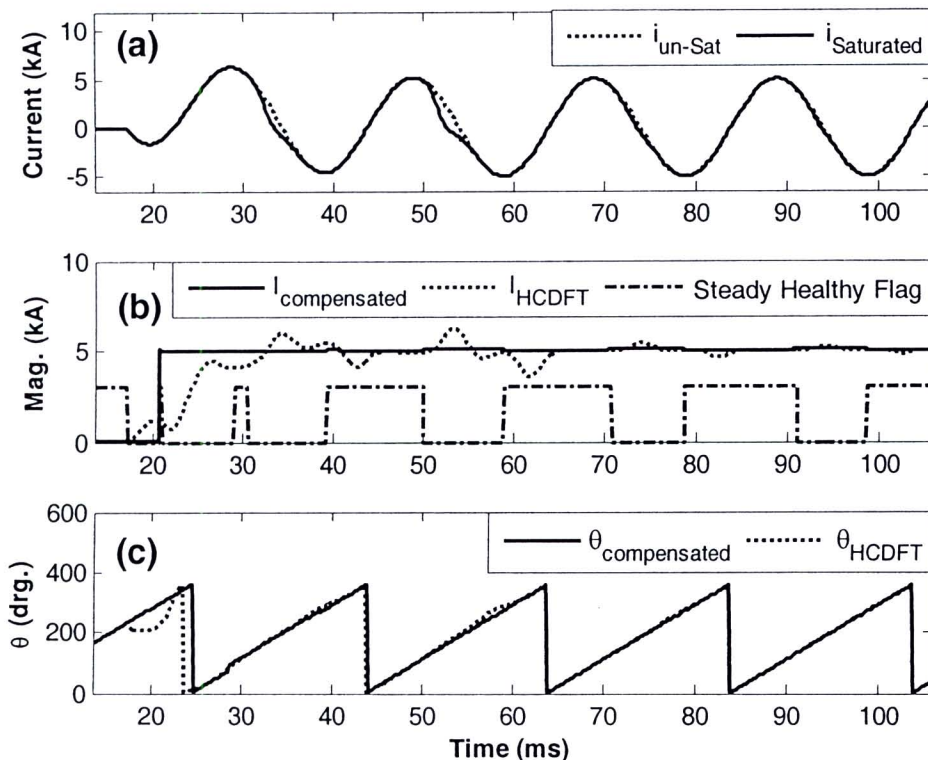


ภาพที่ 3-13 ผลการคำนวณค่าขนาดและมุมในการณีที่ขนาดกระแสภาระมีการเปลี่ยนแปลง

จะเห็นได้ว่าผลที่ได้จากการของงานวิจัยนี้สามารถถูกลากเข้าสู่ค่าขนาดที่ถูกต้องได้รวดเร็วกว่า อีกทั้งยังให้ค่าของขนาดที่มีความถูกต้อง สำหรับผลการคำนวณค่ามุมของสัญญาณนั้นพบว่า ทั้งสองวิธีได้ให้ค่าตอบที่เหมือนกัน ค่ามุมที่ได้จากการที่นำเสนอ (เส้นทึบ) และ ค่ามุมที่ได้จากการวิธี FCDFT (เส้นจุด) เกือบจะซ้อนทับกันสนิทพอดี

3.6.2 กรณีที่เกิดการอิ่มตัวของหม้อแปลงในรุนแรง (สัดส่วนของ X/R มีค่าเท่ากับ 3)

ในการทดสอบนี้มีวัตถุประสงค์เพื่อตรวจสอบประสิทธิภาพในการคำนวณหาค่าขนาดและมุมของสัญญาณในการณีที่สัญญาณเกิดการผิดเพี้ยนเพียงเล็กน้อย โดยสัญญาณที่นำมาใช้ในการทดสอบนี้ เป็นสัญญาณกระแสในกรณีที่เกิดกระแสผิดพร่องขนาด 5 kA ในระบบที่สัดส่วนของ X/R คือ 3 การที่สัดส่วนของ X/R ไม่สูงมากนัก ทำให้องค์ประกอบของสัญญาณกระแสตรงปราฏอยู่ในสัญญาณกระแสเพียงช่วงระยะเวลาสั้น ๆ เท่านั้น การอิ่มตัวของแกนหม้อแปลงจึงเกิดขึ้นในรุนแรง ภาพที่ 3-14(a) แสดงภาพกระแสผิดพร่อง (เส้นทึบ) เทียบกับกระแสในกรณีที่ไม่มีความผิดพร่อง จะเห็นได้ว่ามีการผิดเพี้ยนเล็กน้อยในช่วงสองค่าแรก



ภาพที่ 3-14 ผลการคำนวณค่าขนาดและมุมของกระแสที่ได้จากหม้อแปลงกระแสกรีฟ์มีการอิ่มตัวเล็กน้อย

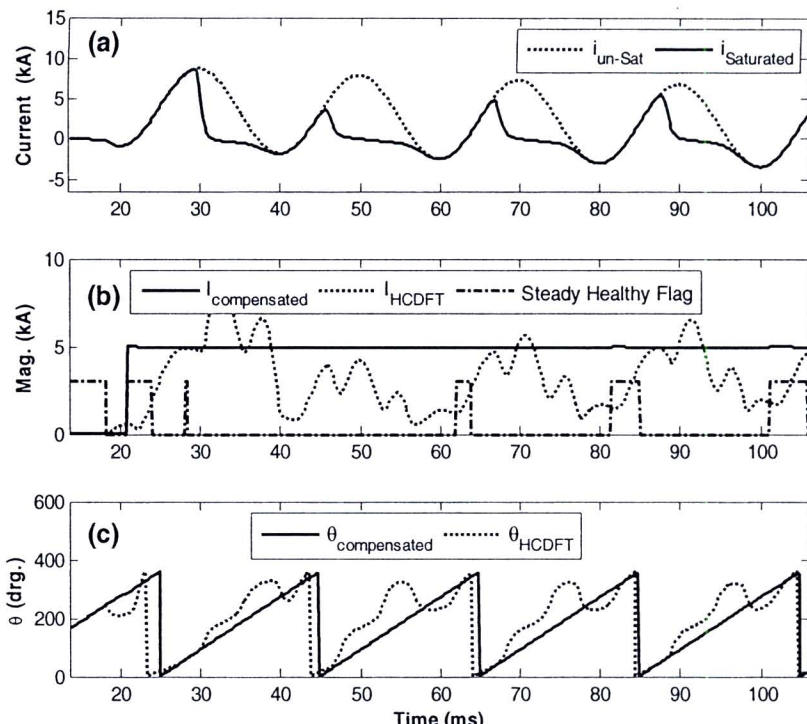
ภาพที่ 3-14(b) แสดงขนาดที่ได้จากการคำนวณของวิธีที่นำเสนอนอกจากขนาดที่ได้จากการคำนวณด้วยวิธี HCDFT (เส้นสุด) จะเห็นได้ว่า ขนาดที่ได้จากการคำนวณด้วยวิธีที่นำเสนอนั้นสามารถถูกลดเข้าสู่ค่าขนาด 5 kA ได้ภายใน 5 มิลลิวินาที ในขณะที่วิธี HCDFT ใช้เวลานานกว่า 15 มิลลิวินาที และมีการกระแสเพื่อมของสัญญาณสูง ที่เป็นเห็นนี้ เพราะองค์ประกอบของสัญญาณกระแสตรงและการผิดเพี้ยนทำให้การคำนวณค่าขนาดมีความผิดพลาด นอกจากนี้ ภาพที่ 3-14(b) ยังแสดงสถานะของสัญญาณ Steady Healthy Flag (เส้นประจุด) ซึ่งจะเห็นได้ว่าสัญญาณนี้จะอยู่ในสถานะทำงานเฉพาะในช่วงที่สัญญาณมีคุณภาพดีเท่านั้น

ภาพที่ 3-14(c) แสดงค่ามุมที่ได้จากการคำนวณด้วยวิธีที่นำเสนอนอกจากกับค่ามุมที่ได้จากการคำนวณด้วยวิธี HCDFT (เส้นสุด) ผลที่ได้เห็นว่าวิธีการที่งานวิจัยนี้นำเสนอมีความสามารถให้ค่ามุมที่ถูกต้องและแม่นยำกว่าวิธี HCDFT

3.6.3 กรณีที่เกิดการอิ่มตัวของหม้อแปลงอย่างรุนแรง (สัดส่วนของ X/R มีค่าเท่ากับ 30)

ในการทดสอบนี้มีวัตถุประสงค์เพื่อตรวจสอบประสิทธิภาพในการคำนวณหาค่าขนาดและมุมของสัญญาณในกรณีที่สัญญาณเกิดการผิดเพี้ยนอย่างรุนแรง โดยสัญญาณที่นำมาใช้ในการทดสอบนี้ เป็นสัญญาณกระแสผิดพร่องขนาด 5 kA ในระบบที่มีสัดส่วนของ X/R เป็น 30 การที่

สัดส่วนของ X/R มีค่าสูง ทำให้องค์ประกอบของสัญญาณกระแสตรงปราศจากอยู่ในสัญญาณกระแส ผิดพร่องเป็นระยะเวลานาน การอิ่มตัวของแกนหม้อแปลงจึงเกิดขึ้นอย่างรุนแรง ภาพที่ 3-15(a) แสดงภาพกระแสผิดพร่องที่มีความผิดเพี้ยน (เส้นทึบ) เทียบกับกระแสในกรณีที่ไม่มีความผิดเพี้ยน จะเห็นได้ว่ามีการผิดเพี้ยนเกิดขึ้นอย่างรุนแรงและเกิดขึ้นเป็นระยะเวลานาน



ภาพที่ 3-15 ผลการคำนวณค่าขนาดและมุมของกระแสที่ได้จากการนำเข้าแบบ HCDFT เทียบกับกระแสที่มีการอิ่มตัวอย่างรุนแรง

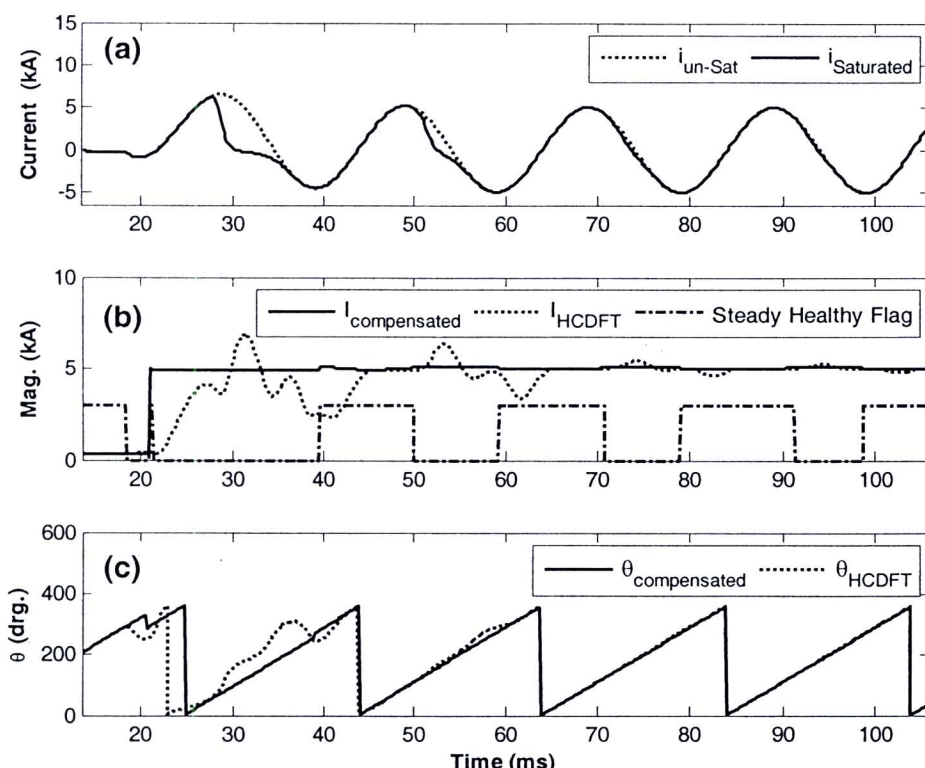
ภาพที่ 3-15(b) แสดงขนาดที่ได้จากการคำนวณของวิธีที่นำเสนอด้วยวิธีที่นำเสนอด (เส้นทึบ) เทียบกับขนาดที่ได้จากการคำนวณด้วยวิธี HCDFT (เส้นจุด) จะเห็นได้ว่า ค่าขนาดที่ได้จากการคำนวณด้วยวิธี HCDFT นั้นมีการกระแสเพื่อมและมีความคลาดเคลื่อนอย่างรุนแรงจนไม่สามารถนำมาใช้งานได้เลย ในขณะที่ขนาดที่ได้จากการคำนวณด้วยวิธีที่นำเสนอดนั้นสามารถถูกลดลงเหลือค่าขนาดที่ถูกต้อง (5 kA) ได้ภายใน 5 มิลลิวินาที นอกจากนี้ภาพที่ 3-15(b) ยังแสดงสถานะของสัญญาณ Steady Healthy Flag (เส้นประชุก) ซึ่งจะเห็นได้ว่าสัญญาณนี้จะอยู่ในสถานะทำงานเฉพาะในช่วงที่สัญญาณมีคุณภาพดีเท่านั้น

ภาพที่ 3-15(c) แสดงค่ามุมที่ได้จากการคำนวณของวิธีที่นำเสนอด (เส้นทึบ) เทียบกับค่ามุมที่ได้จากการคำนวณด้วยวิธี HCDFT (เส้นจุด) ผลที่ได้เห็นว่าวิธีการที่งานวิจัยนี้นำเสนอสามารถให้ค่ามุมที่ถูกต้องและแม่นยำ ส่วนผลการคำนวณค่ามุมด้วยวิธี HCDFT นั้นมีความคลาดเคลื่อนสูงมาก

3.6.4 กรณีที่มีเส้นแรงแม่เหล็กตอกค้างในแกนของหม้อแปลงกระแส

วิธีการปรับปรุงค่ากระแสที่ผิดเพี้ยนนั้นมีอยู่หลากหลายวิธี สำหรับวิธีการปรับปรุงค่ากระแสที่มีการใช้กราฟคุณสมบัติการกระตุนของหม้อแปลงในการปรับปรุงนั้นมีข้อด้อยตรงที่ หากหม้อแปลงมีเส้นแรงแม่เหล็กตอกค้าง จะทำให้การคำนวณปริมาณเส้นแรงแม่เหล็กในแกนผิดพลาด ส่งผลให้ค่ากระแสที่คำนวณออกมากผิดพลาดตามไปด้วย ด้วยเหตุนี้จึงต้องทำการทดสอบในกรณีที่เส้นแรงแม่เหล็กตอกค้างในแกนของหม้อแปลง เพื่อที่จะพิสูจน์ว่าเส้นแรงแม่เหล็กตอกค้างไม่ได้สร้างปัญหากับอัลกอริธึมที่งานวิจัยนี้นำเสนอ

ในการทดสอบ ได้ใช้กระแสผิดพร่องที่ได้จากการจำลอง โดยใช้แบบจำลองแบบเดียวกันที่ใช้ในการทดลองหัวข้อ 3.6.2 (กรณีเกิดการอิมตัวของหม้อแปลงไม่รุนแรง) แต่จะต่างกันตรงที่หม้อแปลงกระแสจะถูกกำหนดให้มีเส้นแรงแม่เหล็กตอกค้างอยู่ 80% เส้นแรงแม่เหล็กตอกค้างดังกล่าว ส่งผลให้ค่ากระแสที่วัดได้มีการผิดเพี้ยนที่สูงขึ้นกว่าปกติ ดังแสดงในภาพที่ 3-16(a) จากผลการทดสอบ อัลกอริธึมที่นำเสนอสามารถทำงานได้เมื่อมีความต้องการปรับปรุงค่าขนาดและมุมของสัญญาณ ดังแสดงในภาพที่ 3-16(b) และ ภาพที่ 3-16(c) ตามลำดับ ในขณะที่ผลที่ได้จากวิธี HCDFT ให้ผลการคำนวณที่มีค่าความคลาดเคลื่อนสูงในช่วงที่เกิดการอิมตัวของหม้อแปลง



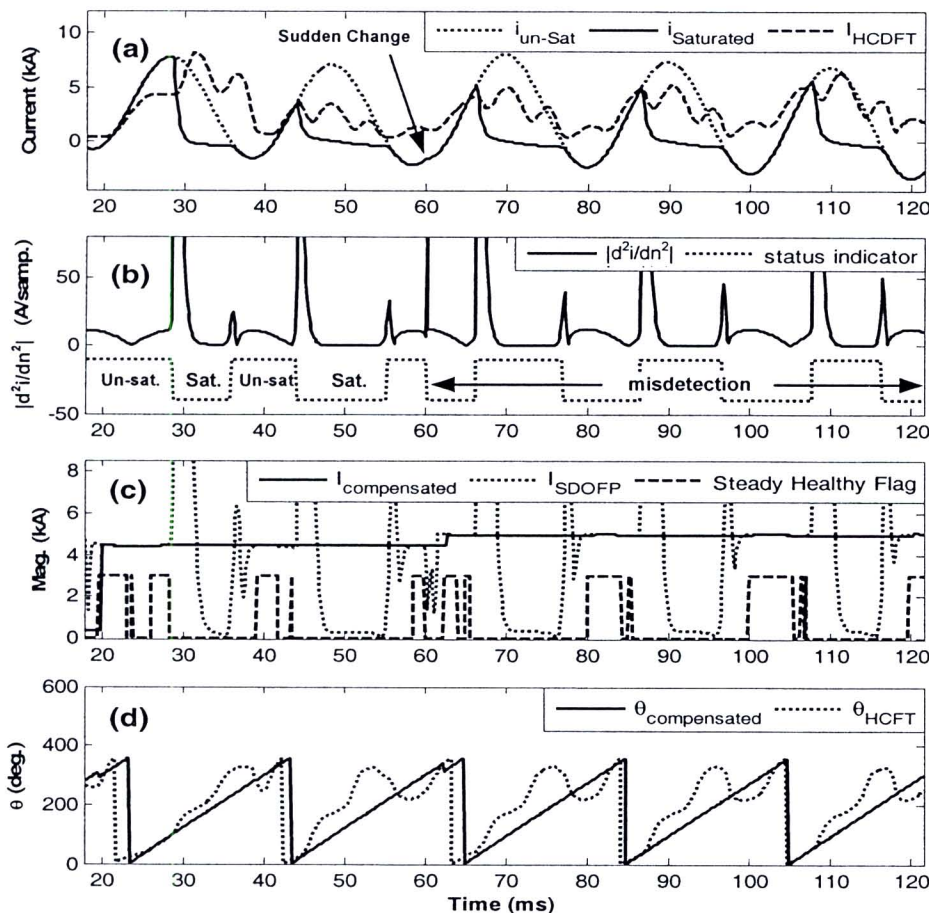
ภาพที่ 3-16 ผลการคำนวณค่าขนาดและมุมของกระแสที่ได้จากหม้อแปลงกระแสที่มีเส้นแรงแม่เหล็กตอกค้าง

3.6.5 กรณีที่มีการเปลี่ยนแปลงขนาดของกระแสผิดพร่องในระหว่างกระบวนการตรวจสอบการตรวจจับการอิมตัว

ในการแยกแยะสัญญาณที่มีคุณภาพดีและสัญญาณที่มีการผิดเพี้ยนนั้นมืออยู่หลายวิธีดังไห้กล่าวไว้แล้วในบทที่ 2 บางวิธีการเลือกที่จะใช้การเปลี่ยนแปลงอย่างรวดเร็วของสัญญาณกระแสเป็นตัวบ่งชี้ว่าหม้อแปลงกระแสกำลังจะเข้าหรือกำลังจะออกจากสภาพอิมตัว ในการตรวจจับการเปลี่ยนแปลงอย่างรวดเร็วทำได้หลายวิธี เช่น การแปลงเวฟเลท การหาค่าอนุพันธ์อันดับที่หนึ่งสอง หรือ สาม เป็นต้น การตรวจจับด้วยวิธีนี้มีข้อด้อยตรงที่ การเปลี่ยนแปลงอย่างรวดเร็วของสัญญาณกระแสนั้นไม่ได้เกิดจากการอิมตัวของหม้อแปลงเพียงอย่างเดียว ยังมีอิก_decay สาเหตุที่ทำให้เกิดการเปลี่ยนแปลงของสัญญาณอย่างรวดเร็ว เช่น การเปลี่ยนชนิดของความผิดพร่อง การตัดภาระของระบบ (Load Shading) การตัดต่อวงจรของเซอร์กิตเบรคเกอร์ หรือการอิมตัวของหม้อแปลงกำลังขณะเกิดกระแสผิดพร่อง เป็นต้น หากเหตุกรณ์เหล่านี้เกิดขึ้นระหว่างที่มีความผิดพร่อง จะทำให้ระบบตรวจจับการอิมตัวของหม้อแปลงทำงานผิดพลาด

ในการทดสอบจะใช้กระแสผิดพร่องดังแสดงในภาพที่ 3-17(a) ซึ่งได้จากการจำลองด้วยคอมพิวเตอร์ โดยกำหนดให้เหตุผิดพร่องชนิดระหว่างเฟสเกิดขึ้น หลังจากนั้นเหตุผิดพร่องดังกล่าวได้พัฒนาภายเป็นเหตุผิดพร่องชนิดสามเฟสที่เวลา 60 มิลลิวินาที ภาพที่ 3-17(b) แสดงผลการตรวจจับการอิมตัวของหม้อแปลงโดยใช้ค่าผลต่างอันดับที่สอง (เส้นทึบ) จะเห็นได้ว่าสัญญาณการตรวจจับด้วยวิธีนี้ (เส้นสุดในภาพที่ 3-17(b)) สามารถระบุสภาพการอิมตัวของแกนของหม้อแปลงกระแสได้ถูกต้องในช่วงแรก จนกระทั่งเกิดการเปลี่ยนชนิดของความผิดพร่อง ส่งผลให้เกิดการเปลี่ยนแปลงขนาดของกระแสผิดพร่อง การเปลี่ยนแปลงดังกล่าวทำให้เกิดการเปลี่ยนแปลงที่รวดเร็ว และทำให้ค่าอนุพันธ์อันดับที่สองนั้นมีค่าสูงกว่าปกติ ระบบตรวจจับจึงเข้าใจผิดว่า หม้อแปลงกระแสกำลังเข้าสู่ภาวะอิมตัว ส่งผลให้การตรวจจับการอิมตัวเกิดความผิดพลาดขึ้น และความผิดพลาดดังกล่าวส่งผลกระทบเป็นระยะเวลานานมาก

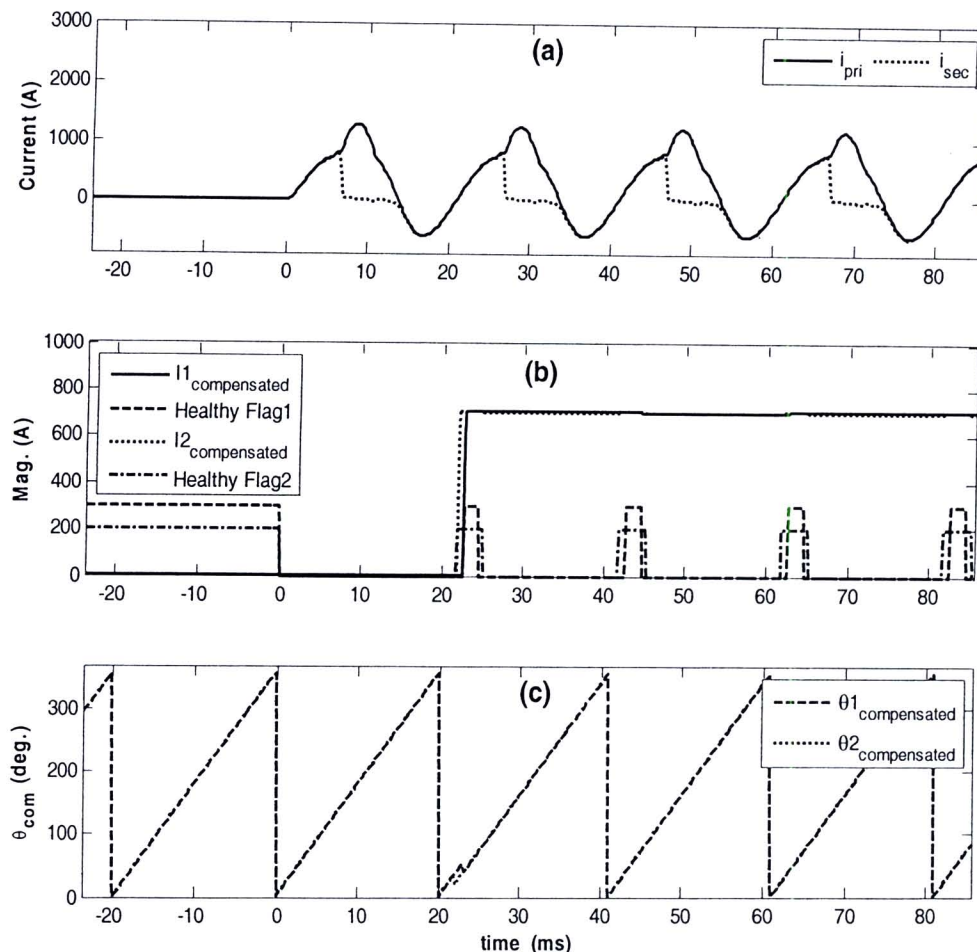
สำหรับการคำนวณค่าขนาดของกระแสผิดพร่องด้วยวิธีการที่งานวิจัยนี้นำเสนอสามารถทำงานได้ดังแสดงโดยเส้นทึบในภาพที่ 3-17(c) การเปลี่ยนแปลงอย่างรวดเร็วของสัญญาณกระแสไม่ได้ทำให้การคำนวณผิดพลาด จะเห็นได้ว่า ค่าขนาดที่คำนวณมาได้จะมีค่าประมาณ 4.4 kA ในช่วงที่เกิดเหตุผิดพร่องชนิดระหว่างเฟส หลังจากที่ความผิดพร่องได้เปลี่ยนเป็นชนิดสามเฟส ส่งผลให้ขนาดของกระแสเพิ่มขึ้นเป็นประมาณ 5 kA สำหรับค่ากระแสที่ได้จากการคำนวณด้วยวิธีการ HCDFT นั้น (เส้นสุด) ไม่สามารถนำมาใช้ได้เนื่องจากมีค่าความผิดพลาดสูงมาก สำหรับผลการคำนวณค่ามุมที่ได้จากวิธีที่งานวิจัยนี้นำเสนอ (เส้นทึบในภาพที่ 3-17(d)) มีความถูกต้องกว่าค่ามุมที่ได้จากวิธี HCDFT (เส้นสุด)



ภาพที่ 3-17 ผลการคำนวณค่าขนาดและมุมของกระแสในกรณีที่มีการเปลี่ยนแปลงของขนาดกระแสผิดพร่อง

3.6.6 กรณีที่กระแสผุ่งเข้า (Inrush Current) ส่งผลให้แกนของหม้อแปลงกำลังเกิดการอิมตัว

ดังที่ได้กล่าวไว้ในหัวข้อ 2.4 กระแสผุ่งเข้าทำให้กระแสเด้านปฐมภูมิและทุติยภูมิมีรูปร่างที่แตกต่างกัน ส่งผลให้รีเลย์ทำงานผิดพลาด ปัญหาที่เกิดขึ้นนี้เป็นปัญหาที่เกิดขึ้นกับแกนของหม้อแปลงกำลัง ไม่ได้เกิดจากการอิมตัวของหม้อแปลงกระแส แต่อย่างไรก็ดี อัลกอริธึมที่งานวิจัยนี้นำเสนอจะช่วยลดปัญหานี้ได้ ดังแสดงในภาพที่ 3-18(a) ซึ่งเป็นภาพสัญญาณกระแสเด้านปฐมภูมิที่ทำการถ่ายโอนไปด้านทุติยภูมิแล้ว เทียบกับกระแสเด้านทุติยภูมิที่สภาวะคงตัวกระแสทั้งสองจะเท่ากันพอดี และมีค่ายอด (Peak) อยู่ที่ 703 A จากการทดลองใช้อัลกอริธึมที่งานวิจัยนี้นำเสนอ คำนวณหาค่าขนาดและมุมพบว่า การอิมตัวของหม้อแปลงกำลังไม่ส่งผลกระทบต่อการคำนวณเนื่องจากในช่วงที่แกนของหม้อแปลงกำลังเกิดการอิมตัวนั้น กระแสทั้งผั้งปฐมภูมิ และทุติยภูมิจะไม่เป็นสัญญาณไขนูชอยด์ที่ความถี่ 50 Hz สัญญาณในช่วงเวลาดังกล่าวจึงถูกตัดทิ้งไปจากการคำนวณค่าขนาดและมุม อัลกอริธึมจึงสามารถคำนวณค่าขนาดและมุมได้ถูกต้อง ดังแสดงในภาพที่ 3-18(b) และ (c)

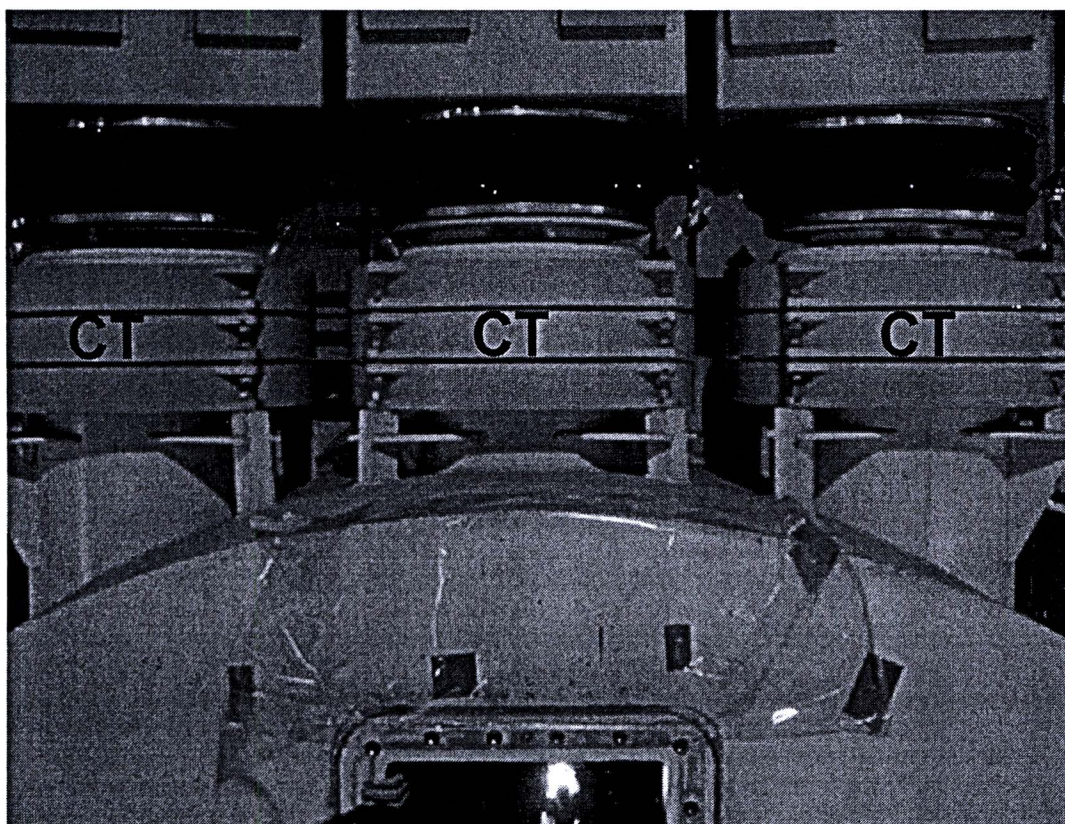


ภาพที่ 3-18 การคำนวณหาขนาดและมุมของสัญญาณกรณีที่เป็นกระแสฟุ่งข้าวของหม้อแปลงกำลัง

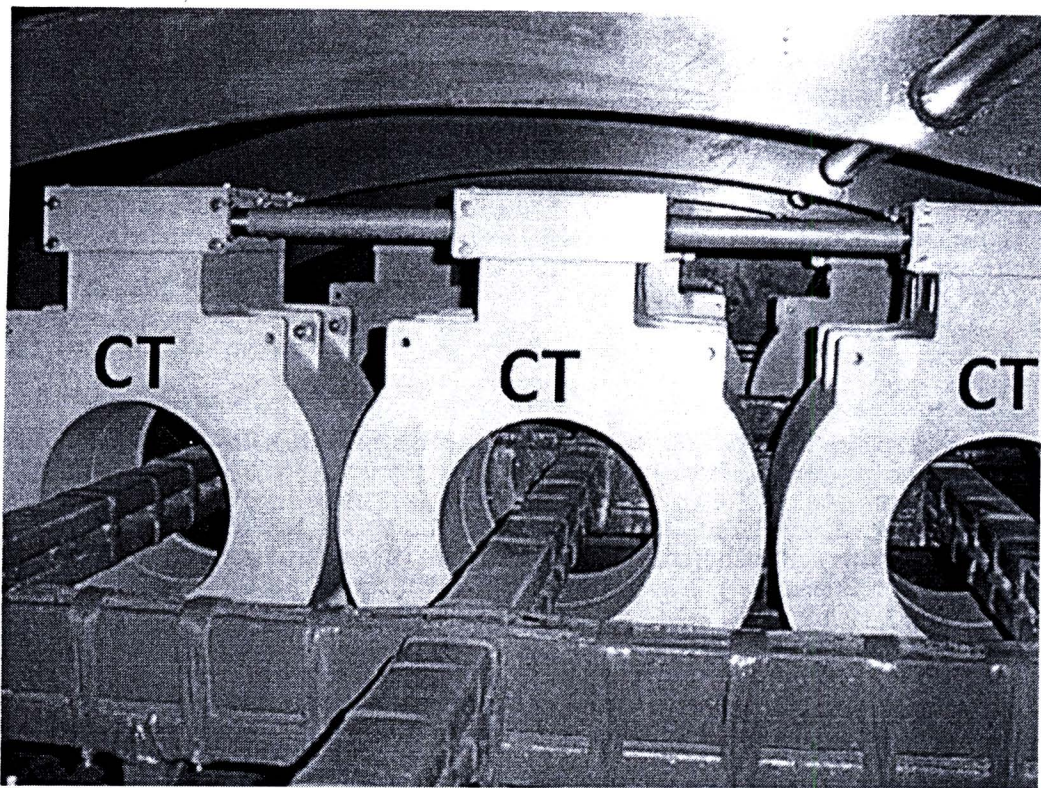
3.7 การประยุกต์ใช้อัลกอริธึมกับรีเลย์ผลต่างร้อยละ

ในระบบไฟฟ้ากำลังนี้ประกอบไปด้วยอุปกรณ์ต่าง ๆ ทำงานร่วมกัน มีอุปกรณ์หลายตัวที่มีความสำคัญต่อระบบไฟฟ้าในระดับสูงมาก เช่น เครื่องกำเนิดไฟฟ้า หม้อแปลงกำลัง สายส่ง หากอุปกรณ์เหล่านี้ไม่อยู่ในสภาพที่ดี ระบบไฟฟ้าจะไม่สามารถทำงานได้ เมื่อจะได้รับการบำรุงรักษาเป็นอย่างดี แต่เหตุผิดพร่องเกี่ยวกองอาจเกิดขึ้นได้ ระบบป้องกันจะต้องทำการปักป้องอุปกรณ์เหล่านี้ด้วยการตัดอุปกรณ์ออกจากระบบให้เร็วที่สุด เพื่อให้ความเสียหายที่จะเกิดขึ้นกับตัวอุปกรณ์มีน้อยที่สุด เพราะหากอุปกรณ์เสียหายในระดับที่ต้องสั่งซื้อมาติดตั้งใหม่ จะต้องรอการผลิตและติดตั้งเป็นเวลาหลายเดือน เพราะอุปกรณ์เหล่านี้เป็นอุปกรณ์ที่มีราคาสูงมาก ผู้ผลิตส่วนใหญ่จะไม่มีการเก็บหม้อแปลงกำลังหรือเครื่องกำเนิดไฟฟ้าไว้คงคลัง แต่จะสร้างตามคำสั่งซื้อเท่านั้นซึ่งต้องใช้ระยะเวลาในการผลิต ระบบป้องกันที่สามารถกำหนดเหตุผิดพร่องได้แม่นยำและรวดเร็วที่สุดคือรีเลย์ผลต่าง รีเลย์ชนิดนี้จึงเหมาะสมในการป้องกันอุปกรณ์ที่มีความสำคัญเหล่านี้

รีเลย์ผลต่างนั้นแบ่งออกเป็นสองประเภทหลัก ๆ คือ รีเลย์ผลต่างแบบอิมพีเดนซ์สูง และ รีเลย์ผลต่างร้อยละ สำหรับรีเลย์ผลต่างอิมพีเดนซ์สูงนั้นมีเสถียรภาพที่สูง [30] การอิ่มตัวของ หม้อแปลงกระแสเมม็อกล็อกต่อการทำงานไม่น่าจะ แต่การใช้งานของรีเลย์ชนิดนี้มีข้อจำกัดคือ หม้อแปลง กระแสที่ใช้ทุกตัวต้องเหมือนกันทุกประการ เพราะฉะนั้น จะต้องใช้หม้อแปลงกระแสที่เป็นรุ่น เดียวกันและผลิตจากการของผู้ผลิตเดียวกันเท่านั้น และแกนของหม้อแปลงต้องเป็นแกนชนิด พิเศษ (Class X ตามมาตรฐาน BS –3938 หรือ Type TPS ตามมาตรฐาน IEC 60044-6) [30] ด้วย เหตุผลเหล่านี้ รีเลย์ผลต่างอิมพีเดนซ์สูงจึงไม่เหมาะสมที่จะนำมาป้องกันอุปกรณ์ที่มีมากกว่าสอง ช่องทาง ให้ลองกระแส ดังนั้น รีเลย์ผลต่างแบบอิมพีเดนซ์สูงจึงไม่เหมาะสมที่จะนำมาใช้ป้องกัน หม้อแปลง บัสบาร์ที่มีโครงสร้างซับซ้อน [30] หรือในกรณีที่อุปกรณ์มีข้อจำกัดในพื้นที่การติดตั้ง ทำให้ไม่สามารถติดตั้งหม้อแปลงกระแสที่เป็นรุ่นเดียวกันได้ เช่น ในกรณีของเครื่องกำเนิดไฟฟ้า บางรุ่น ในภาพที่ 3-19 และภาพที่ 3-20 แสดงหม้อแปลงกระแสของเครื่องกำเนิดไฟฟ้า ที่ด้านข้างต่อ มีการติดตั้งหม้อแปลงที่บุชชิ่ง แต่สำหรับด้านนิวทรัล (Neutral Side) ซึ่งอยู่ภายใต้ตัวเครื่องกำเนิดไฟฟ้า นั้นมีข้อจำกัดด้านพื้นที่ จึงจำเป็นต้องใช้หม้อแปลงกระแสที่ต่างรุ่นกัน ด้วยเหตุผลดังกล่าว รีเลย์ผลต่างร้อยละจึงเป็นทางเลือกที่เหมาะสมกว่า



ภาพที่ 3-19 หม้อแปลงกระแสของเครื่องกำเนิดไฟฟ้าด้านข้างต่อ (Terminal Side)



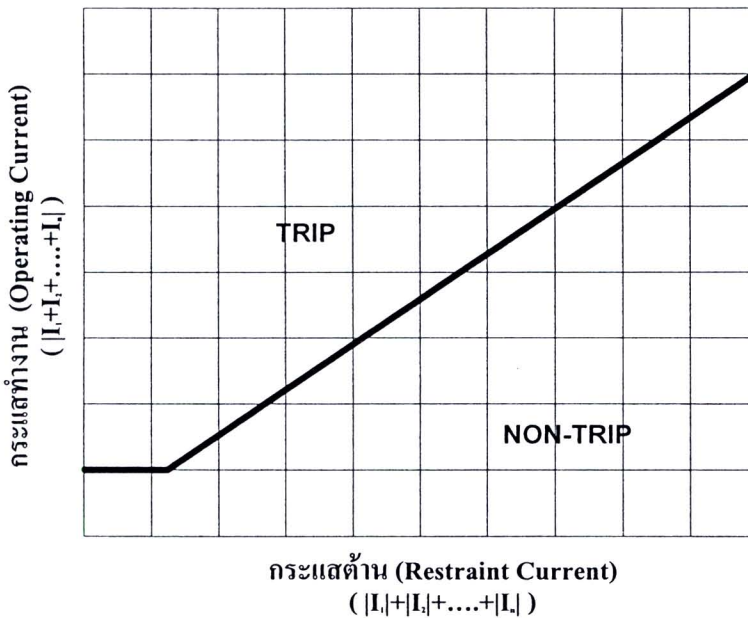
ภาพที่ 3-20 หม้อแปลงกระแสของเครื่องกำเนิดไฟฟ้าด้านนิวทรัล (Neutral Side)

3.7.1 กระบวนการประเมินว่ามีความผิดพร่องเกิดขึ้นหรือไม่

ในการประเมินสถานะของอุปกรณ์ว่ามีเหตุผิดพร่องเกิดขึ้นหรือไม่นั้น รีเลย์ผลต่างร้อยละจะใช้ปริมาณ 2 ปริมาณในการตัดสินใจ นั่นคือสัญญาณกระแสทำงาน (Operate Current, I_{op}) และกระแสต้าน (Restraint Current, I_{res}) โดยค่ากระแสทำงานคำนวณได้จากค่าสัมบูรณ์ของผลรวมกระแสทุกดัวที่ไหลเข้าเขตป้องกัน ($|I_1 + I_2 + \dots + I_n|$) ส่วนกระแสต้านคำนวณได้จากผลรวมของค่าสัมบูรณ์ของกระแสทุกดัวที่ไหลเข้าเขตป้องกัน ($|I_1| + |I_2| + \dots + |I_n|$) ดังแสดงในภาพที่ 3-21 จะเห็นได้ว่าในกราฟจะมีเส้นตัดสินใจเป็นเส้นตรงอยู่สองเส้น คือเส้นตรงแนวระนาบที่ระดับกระแสเริ่มทำงานหรือ I_{pickup} และเส้นตรงที่มีความชัน k หากพิกัดความสัมพันธ์ระหว่างกระแสทำงานและกระแสต้านอยู่ใต้เส้นตัดสินใจทั้งสอง รีเลย์ประเมินว่าขณะนี้อุปกรณ์ที่ถูกป้องกันอยู่ในสภาพปกติ ในทางกลับกันหากพิกัดความสัมพันธ์ระหว่างกระแสทำงานและกระแสต้านอยู่เหนือเส้นทั้งสอง รีเลย์จะประเมินว่าอุปกรณ์ที่รีเลย์ป้องกันอยู่นั้นมีความผิดพร่องเกิดขึ้น ในการประเมินตั้งกล่าวสามารถทำได้โดยตรวจสอบเงื่อนไขสองข้อดังสมการที่ (3-13) และ (3-14) ว่าเป็นจริงหรือไม่ หากเงื่อนไขทั้งสองเป็นจริงแสดงว่ามีเหตุผิดพร่อง

$$I_{op} > k \times I_{res} \quad (3-13)$$

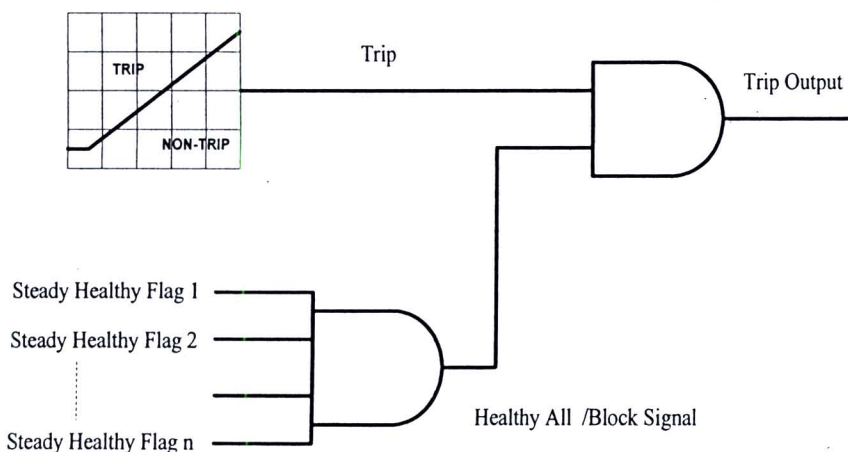
$$I_{op} > I_{pickup} \quad (3-14)$$



ภาพที่ 3-21 คุณสมบัติการทำงานของรีเลย์ผลค่าคงร้อยละ

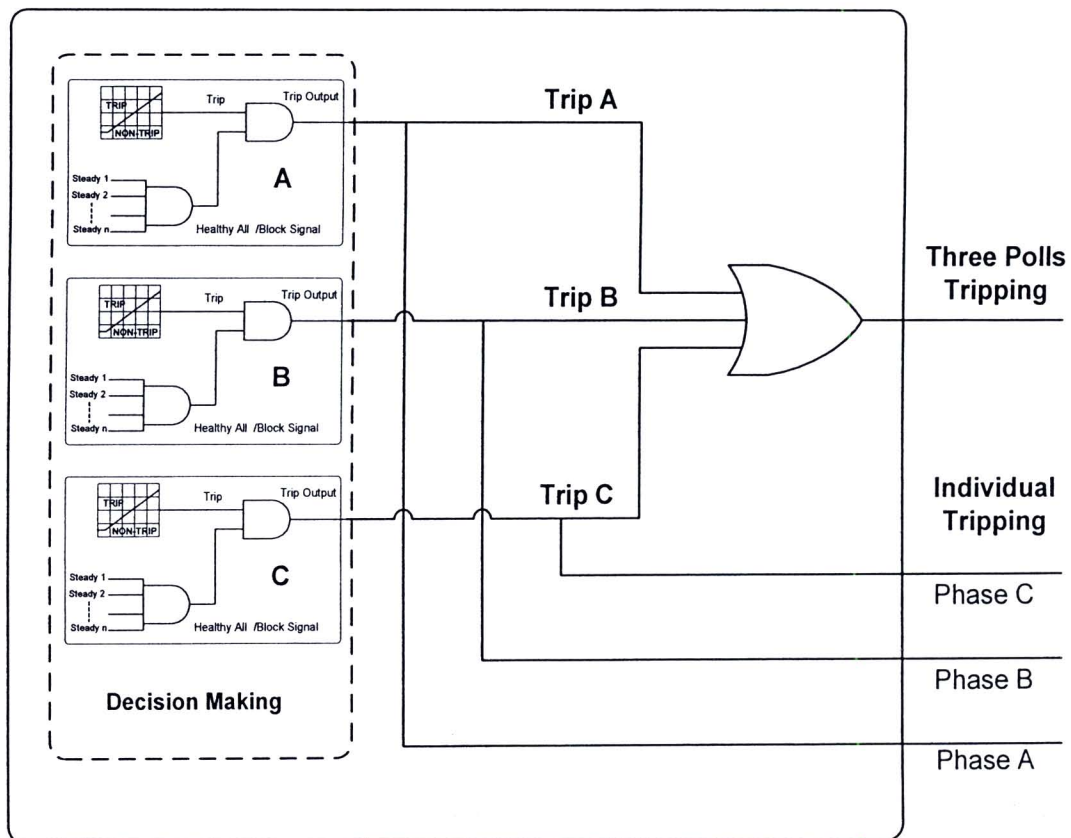
3.7.2 กระบวนการป้องกันการสั่งปลดวงจร (Trip Blocking)

ดังที่ได้เคยกล่าวไว้ในหัวข้อ 3.1 ว่า รีเลย์ป้องกันที่ดีจะสั่งปลดวงจรที่ต่อเมื่อมีความมั่นใจว่า เกิดเหตุผิดพร่องขึ้นเท่านั้น ดังนั้นในช่วงเวลาที่หม้อแปลงกระแสเกิดการอิ่มตัว เป็นช่วงเวลาที่ค่าขนาดของกระแสที่คำนวณมา ได้มีความน่าเชื่อถือไม่นัก ก็ลอกอริธึมจะจะไม่สั่งปลดวงจรในช่วงเวลาดังกล่าว โดยสัญญาณการป้องกันการสั่งปลดวงจรมารถคำนวณได้จากผังสัญญาณดังแสดงในภาพที่ 3-22 จะเห็นได้ว่าสัญญาณขาออกที่จะสั่งปลดวงจรได้นั้นจะอยู่ในสภาพทำงานก็ต่อเมื่อสัญญาณ Trip ส่งมาจากกระบวนการประเมินว่ามีความผิดพร่อง และหม้อแปลงทุกตัวอยู่ในสภาพไม่อิ่มตัว



ภาพที่ 3-22 การป้องกันการสั่งปลดวงจร (Trip Blocking)

วิธีการประเมินว่ามีความผิดพลาดขึ้นหรือไม่ ดังที่ได้กล่าวไว้ในหัวข้อก่อนหน้านี้เป็นเพียงการตรวจสอบแบบหนึ่งเพื่อส ในการนำไปประยุกต์ใช้งาน จะต้องมีชุดตรวจจับความผิดพลาดจำนวนสามชุดเพื่อทำการป้องกันทั้งเฟส A เฟส B และเฟส C หากเกิดความผิดพลาดขึ้นกับเฟสใดเฟสหนึ่งหรือสองเฟส เพื่อวิเคราะห์ผู้ออกแบบระบบป้องกันจะสามารถเลือกได้ว่า จะให้ทำการตัดวงจรทั้งสามเฟส หรือจะเลือกตัดเฉพาะวงจรที่เกิดความผิดพลาด ผังการทำงานในการสั่งตัดวงจรจึงเป็นดังภาพที่ 3-23



ภาพที่ 3-23 ผังการเชื่อมต่อสัญญาณการสั่งเปิดวงจรไปยังชุดควบคุมเซอร์กิตเบรกเกอร์

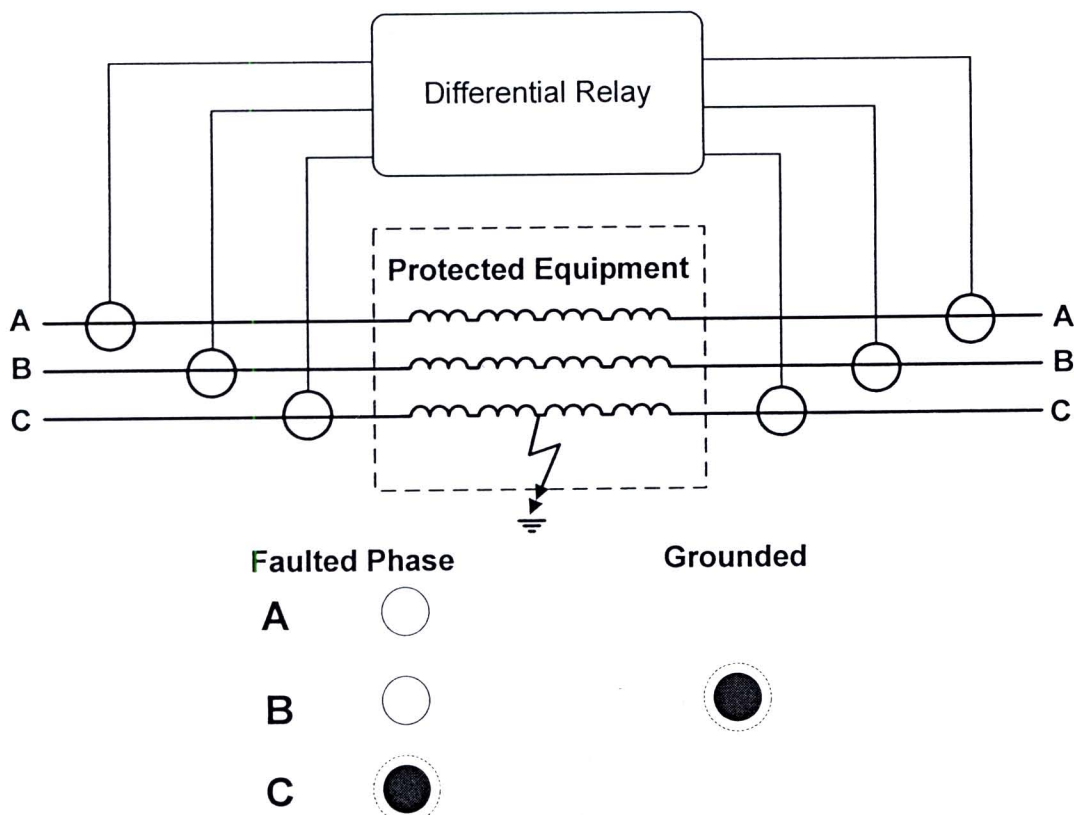
3.8 การจำแนกชนิดของเหตุผิดพลาด

นอกจากเรียล์ผลต่างจะทำหน้าที่แยกความผิดพลาดออกจากระบบด้วยการสั่งปลดวงจรแล้ว รีเลย์ขั้มมีหน้าที่เป็นเครื่องมือในการช่วยให้เจ้าหน้าที่สามารถแก้ไขความผิดพลาดได้รวดเร็วขึ้น โดยรีเลย์จะต้องสามารถให้ข้อมูลว่า ความผิดพลาดที่เกิดขึ้นนั้นเกิดขึ้นที่เฟสใด ชนิดใด มีกระแสไฟ流ลงดินหรือไม่

3.8.1 ความผิดพลาดชนิดหนึ่งเฟส (Single Line to Ground Fault)

หากความผิดพลาดชนิดหนึ่งเฟสเกิดขึ้น จะส่งผลให้สัญญาณ Trip Output ของเฟสดังกล่าวอยู่ในสภาพทำงาน (Active) ดังตัวอย่างแสดงในภาพที่ 3-24 ความผิดพลาดภายในเกิดขึ้นที่เฟส C

ส่งผลให้สัญญาณแจ้งเตือนเฟส C อยู่ในสภาพการทำงาน เนื่องด้วยความผิดพร่องชนิดหนึ่งเฟสจะมีกระแสไฟหลงคินด้วย ส่งผลให้สัญญาณแจ้งเตือนกระแสไฟหลงคินอยู่ในสภาพการทำงาน โดยในการตรวจจับว่ามีกระแสไฟหลงคินหรือไม่สามารถตรวจสอบได้จากค่ากระแส I_G ซึ่งมีค่าเท่ากับรวมแบบเวกเตอร์ของกระแสทำงาน (Operating Current) ของทุกเฟส ดังสมการที่ (3-15) หากค่า I_G มีค่าต่ำมากแสดงว่าไม่มีกระแสไฟหลงคิน ในกรณีตัวอย่างมีกระแสผิดพร่องเกิดขึ้นที่เฟส C เพียงเฟสเดียว ทำให้ I_{op_C} มีขนาดสูง ในขณะที่ I_{op_A} และ I_{op_B} มีค่าน้อยมาก ส่งผลให้ I_G มีขนาดที่สูงสัญญาณแจ้งเตือนกระแสไฟหลงคินจึงมีสถานะทำงาน



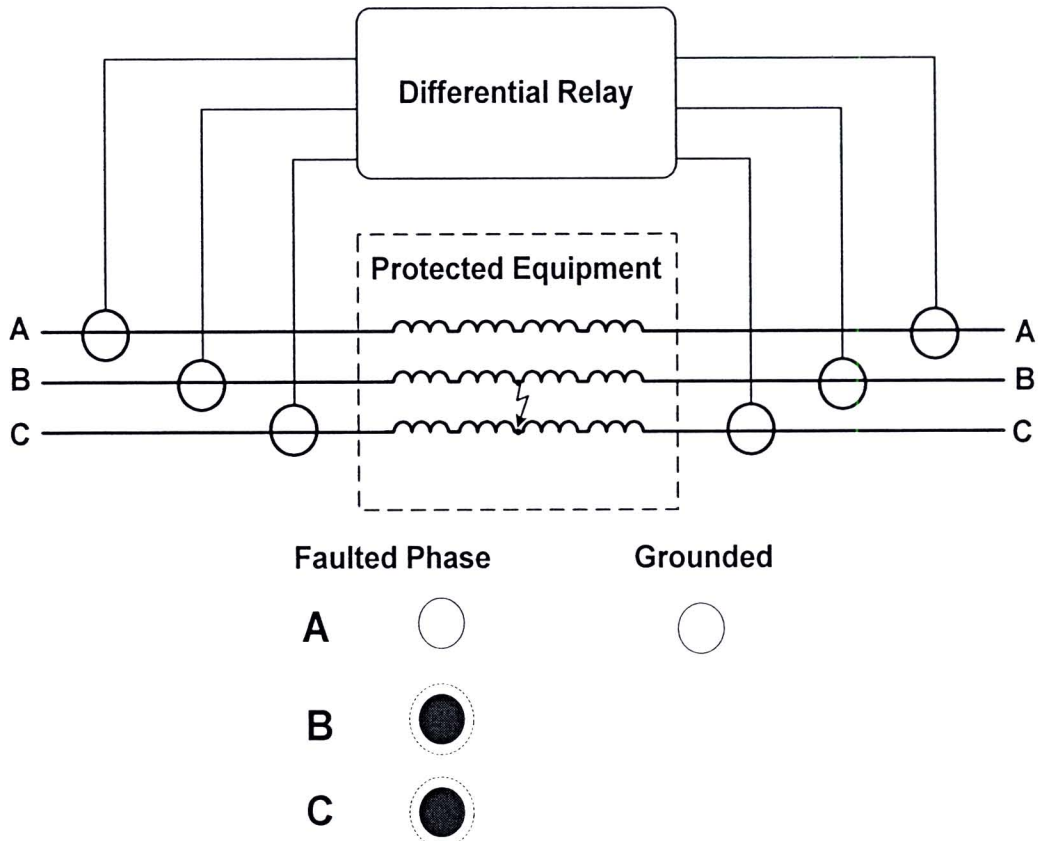
ภาพที่ 3-24 ความผิดพร่องชนิดหนึ่งเฟส

$$I_G = I_{op_A} + I_{op_B} + I_{op_C} \quad (3-15)$$

3.8.2 ความผิดพร่องชนิดระหว่างเฟสไม่ลงดิน (Un-grounded Line to Line Fault)

ในกรณีที่ความผิดพร่องเป็นความผิดพร่องชนิดระหว่างเฟส ค่าสัญญาณกระแสทำงาน (Operating Current) ของทั้งสองเฟสจะมีค่าสูงจนทำให้สัญญาณ Trip Output ของทั้งสองเฟสอยู่ในสภาพการทำงาน (Active) ตัวอย่างดังแสดงในภาพที่ 3-25 เป็นความผิดพร่องระหว่างเฟส B และเฟส C สัญญาณ Trip Output ของเฟส B และเฟส C ทำให้สัญญาณไฟแจ้งเตือนที่เฟส B และ C ทำงาน แต่สัญญาณเตือนกระแสไฟหลงคินจะไม่ทำงาน ทั้งนี้เป็นเพราะกระแสทำงานของเฟส A (I_{op_A}) มี

ขนาดต่ำมาก ในขณะที่กระแสทำงานของเฟส B (I_{op_B}) จะมีขนาดเท่ากับกระแสทำงานของเฟส C (I_{op_C}) แต่มีพิษทางตรงข้ามกัน สิ่งเหล่านี้ส่งผลให้กระแสไฟหลองดิน I_G ตามสมการที่ (3-15) มีค่าเป็นศูนย์



ภาพที่ 3-25 ความผิดพร่องชนิดเฟสต่อเฟสไม่ลงดิน

3.8.3 ความผิดพร่องชนิดระหว่างเฟสสองดิน (Double Line to Ground Fault)

ในกรณีที่เป็นความผิดพร่องชนิดระหว่างเฟส ค่าสัญญาณกระแสทำงาน (Operating Current) ของหัวส่องเฟสจะมีค่าสูงจนทำให้สัญญาณ Trip Output ของเฟสหัวส่องจะอยู่ในสภาพการทำงาน (Active) ตัวอย่างดังแสดงในภาพที่ 3-26 เป็นความผิดพร่องระหว่างเฟส B และเฟส C สัญญาณ Trip Output ของเฟส B และเฟส C ทำให้สัญญาณไฟแจ้งเตือนที่เฟส B และ C ในส่วนของสัญญาณเตือนกระแสไฟหลองดินก็จะทำงานเช่นกัน ทั้งนี้เป็นเพราะกระแสทำงานของเฟส A (I_{op_A}) มีขนาดต่ำมาก ในขณะที่กระแสทำงานของเฟส B (I_{op_B}) จะไม่เท่ากับกระแสทำงานของเฟส C (I_{op_C}) ส่งผลให้เกิดกระแสไฟหลองดิน I_G ตามสมการที่ (3-15) มีค่าไม่เท่ากับศูนย์ สิ่งนี้เป็นตัวบ่งชี้ว่ามีกระแสไฟหลองดิน